

Innovative methods of didactics

Lecture 3

Textbooks – some examples, not
only in physics

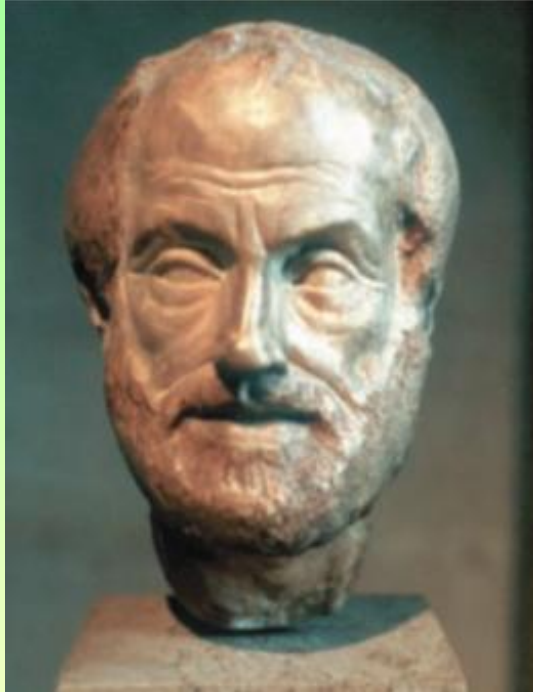
Part II Physics

Grzegorz Karwasz

Didactics of Physics Division UMK, Toruń, Head

a/a 2020/2021

Aristotle: „Physics”



Aristotle (384 – 322 boe)

- § 1 ·When the objects of an inquiry, in any department, have principles, causes, of elements, it is through acquaintance with these that knowledge and understanding is attained. For we do not think that we know a thing until we are acquainted with its primary causes or first principles, and have carried our analysis as far as its elements. Plainly, therefore, in the science of nature too our first task will be to try to determine what relates to its principles.

184 a17-184 a21

- The natural way of doing this is to start from the things which are more knowable and clear to us and proceed towards those which are clearer and more knowable by nature; for the same things are not knowable relatively to us and knowable without qualification. So we must follow this method and advance from what is more obscure by nature, but clearer to us, towards what is more clear and more knowable by nature.

Aristotle

- Further, no one could say why a thing once set in motion should stop any-where; for why should it stop *here* rather than *here*? So that a thing will either be at rest or must be moved *ad infinitum*, unless something more powerful gets in its way.

(*Physics*, 215 a19 - 215 a21)

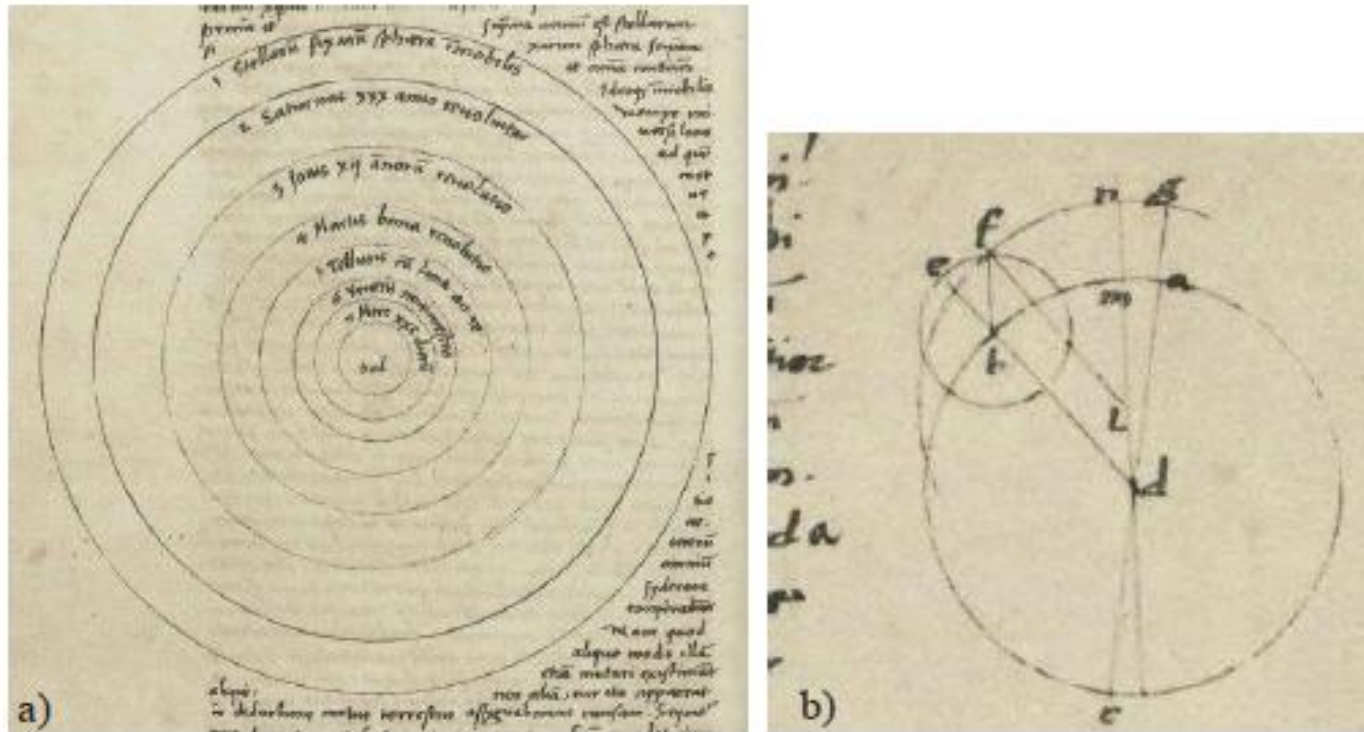
First law of Newton
or principle of inertia
by John Buridian (~1300 DC)

Third law of mechanics
by Cartesius:

„In a collision, a body loses as much of its momentum as the second body gains.”



Copernicus (1473-1543)

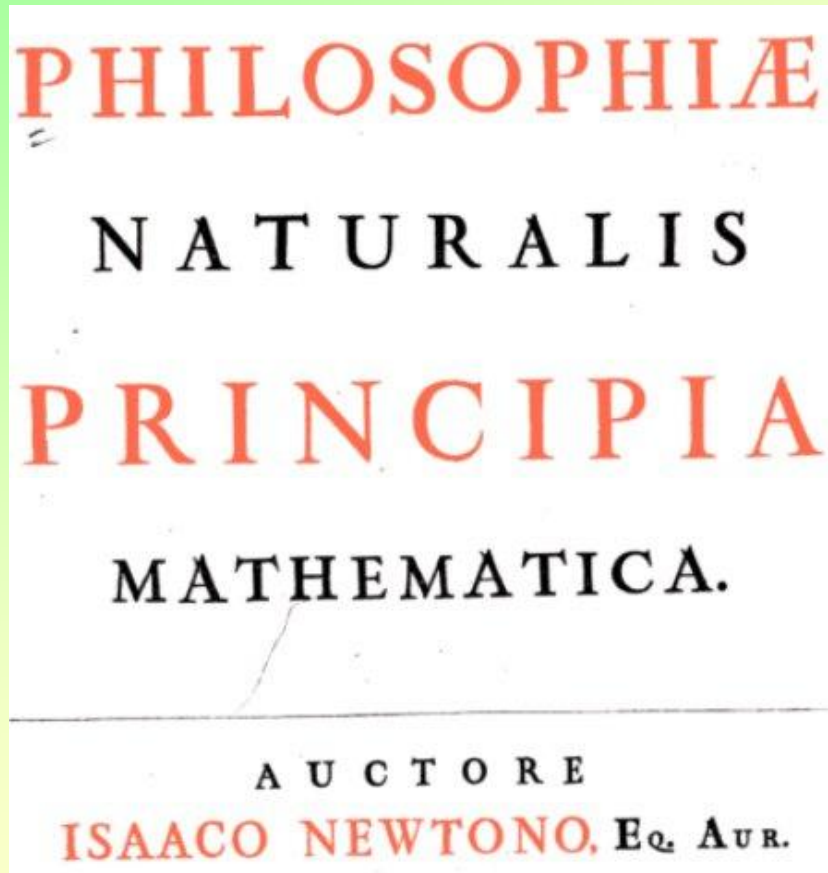


Ryc. 1.2. a) Rysunek z 18. strony rękopisu dzieła Kopernika; genialny uczyony zaraz na wstępie, przed zagłębieniem się w szczegóły, wyjaśnia istotę swojego odkrycia: planety krążą dookoła Słońca i im ich orbity są bliższe Słońcu, tym okres obiegu jest krótszy; b) kolejny rysunek z rękopisu Kopernika; do orbit kolistych Kopernik dodał epicykle, tak jakby wiedział, że orbity nie są dokładnie koliste.

De Revolutionibus orbium coelestis, Norimberga, 1543

G. Karwasz, *Toruński poręcznik do fizyki. IV Fizyka współczesnej*, UMK 2020.

Newton (1643/44 - 1727)



He did „everything” here:

- Three laws of dynamics
- Centripetal force
- Gravity
- Frequency of a string
- Defined viscosity
- Defined aerodynamics
- Derived Kepler's laws
- Explained comet's

Written in Latin, what allowed great diffusion all over Europe

https://books.google.pl/books/about/Philosophiæ_Naturalis_Principia_Mathema.html

LEX I.

Corpus omne perseverare in statu suo quiescendi vel movendi uniformiter in directum, nisi quatenus illud a viribus impressis cogitur statum suum mutare.

PROJECTILIA perseverant in motibus suis, nisi quatenus a resistentia aëris retardantur, & vi gravitatis impelluntur deorsum. Trochus, cujus partes cohærendo perpetuo retrahunt sese a motibus rectilineis, non cessat rotari, nisi quatenus ab aëre retardatur. Majora autem planetarum & cometarum corpora motus suos & progressivos & circulares in spatiis minus resistentibus factos conservant diutius.

LEX II.

Mutationem motus proportionalem esse vi motrici impressæ, & fieri secundum lineam rectam qua vis illa imprimitur.

COROLLARIUM I.

Corpus viribus conjunctis diagonalem parallelogrammi eodem tempore describere, quo latera separatim.

Si corpus dato tempore, vi sola *M* in loco *A* impressa, ferretur uniformi cum motu ab *A* ad *B*; & vi sola *N* in eodem loco impressa, ferretur ab *A* ad *C*: compleatur parallelogrammum *ABDC*, & vi utraque feretur corpus illud eodem tempore in diagonali ab *A* ad *D*. Nam quoniam vis *N* agit secundum lineam *AC* ipsi *BD* parallelam, hæc vis per legem II nihil



„Corpus” maintains its state of „quiet” or moving uniformly in one direction, as long no forces change its state.

Projectile preserves its motion provided the air resistance makes it retard or the gravity does not change it.

Quite easy to understand. Why modern school books make it complicated?

Sum of vectors

Still in use, but nobody says that it comes from Newton

It is still much „Eucleidian”, i.e. geometrical

Orbis tangentem rectam demissam. Est enim velocitas in locis
illis $A, B, C, D,$
 $E,$ ut sunt bases
æqualium trian-
gulorum $AB,$
 $BC, CD, DE,$
 $EF;$ & hæ
bases sunt reci-
proce ut perpen-
dicula in ipsas
demissa.

Corol. 2. Si
arcuum duorum
æqualibus tem-
poribus in spa-
tiis non resisten-
tibus ab eodem
corpore succes-
sive descriptorum
chordæ $AB,$
 BC compleantur
in parallelogrammum $ABCV,$ & hujus diagonalis BV in ea
positione quam ultimo habet ubi arcus illi in infinitum diminuuntur,
producatur utrinque; transibit eadem per centrum virium.

He derived centripetal force
via geometrical reasoning.

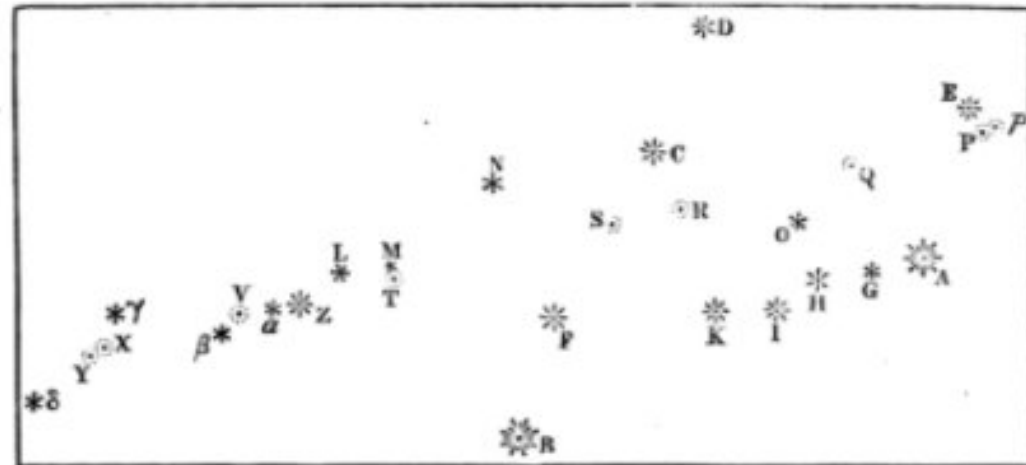
In a similar way Archimedes
evaluated $3 \frac{1}{7} < \pi < 3 \frac{11}{71}$

but also experimental & astronomical

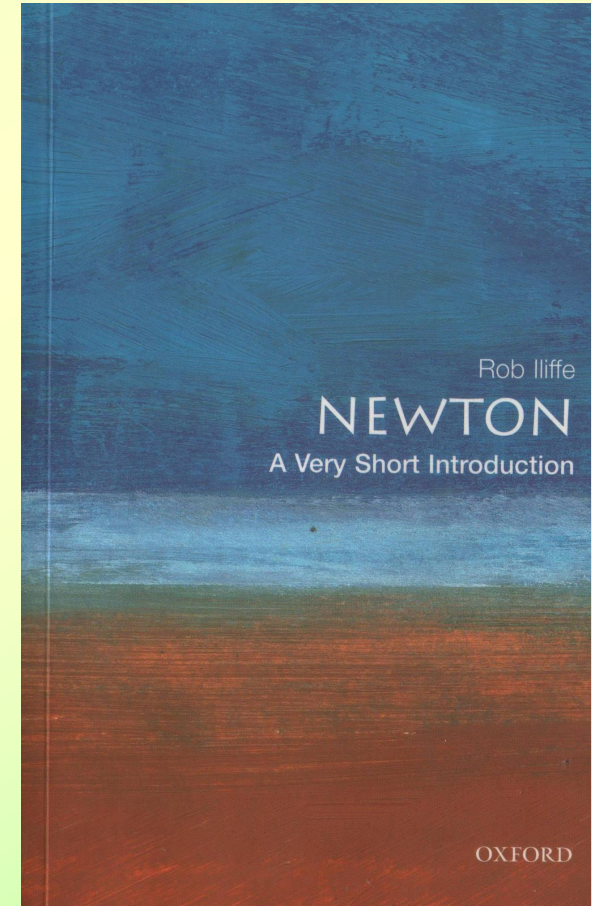
pondera globorum ac tempora cadendi exhibentur in tabula sequente.

GLOBORUM MERCURIO PLENORUM.			GLOBORUM AERE PLENORUM.		
<i>Pondera.</i>	<i>Diametri.</i>	<i>Tempora cadendi.</i>	<i>Pondera.</i>	<i>Diametri.</i>	<i>Tempora cadendi.</i>
908 <i>gran.</i>	0,8 <i>digit.</i>	4 ^{''}	510 <i>gran.</i>	5,1 <i>digit.</i>	8 ^{''} $\frac{1}{2}$
983	0,8	4—	642	5,2	8
866	0,8	4	599	5,1	8
747	0,75	4+	515	5,0	8 $\frac{1}{2}$
808	0,75	4	483	5,0	8 $\frac{1}{2}$
784	0,75	4+	641	5,2	8

36 $\frac{1}{2}$, DI 53 $\frac{1}{2}$, AK 38 $\frac{1}{2}$, BK 43, CK 31 $\frac{1}{2}$, FK 29, FB 23, FC



36 $\frac{1}{2}$, AH 18 $\frac{1}{2}$, DH 50 $\frac{1}{2}$, BN 46 $\frac{1}{2}$, CN 31 $\frac{1}{2}$, BL 45 $\frac{1}{2}$, NL 31 $\frac{1}{2}$

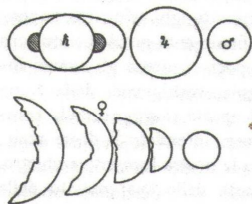


Concise & objective
(even funny) Newton's
life

Galileo Galilei (1564 – 1642)

Giove non più come una piccolissima stella radiante, ma come una Luna rotonda, ben grande e terminata. E se la stella sarà assai più piccola di Giove, ma di splendore molto fiero e vivo, qual è, per esemplo, il Cane, il cui diametro non è la decima parte di quel di Giove, nulla di meno la sua irradiazione è poco minor di quella di Giove, il telescopio, accrescendo la stella ma non la chioma, fa che, dove prima il piccolissimo disco tra sì ampio fulgore era impercettibile, già fatto in superficie 400 e più volte maggiore, si può distinguere ed assai ben figurare. Con tal fondamento andate discorrendo, ché potrete disbrigarvi per voi stesso da tutti gl'intoppi.

E rispondendo alle vostre istanze, quando dal signor Mario e da me è stato detto che 'l telescopio spoglia le stelle di quel coronamento risplendente, ciò è stato profferito non con intenzione d'aver a stare a sindacato di persone così puntuali come siete voi, che, non avendo altro dove attaccarvi, vi conducete sino a dannar con lunghi discorsi chi prende il termine usitatissimo d'infinito per grandissimo. Quando noi abbiamo detto che il telescopio spoglia le stelle di quello irraggiamento, abbiamo voluto dire ch'egli opera intorno a loro in modo che ci fa vedere i lor corpi terminati e figurati come se fussero nudi e senza quello ostacolo che all'occhio semplice asconde la lor figura. È egli vero, signor Sarsi, che Saturno, Giove, Venere e Marte all'occhio libero non mostrano tra di loro una minima differenza di figura, e non molto di grandezza seco medesimi in diversi tempi? e che coll'occhiale si veggono, Saturno come appare nella presente figura, e Giove



e Marte in quel modo sempre, e Venere in tutte queste forme diverse? e, quel ch'è più meraviglioso, con simile diversità di grandezza? sì che cornicolata mostra il suo disco 40 volte maggiore che rotonda, e Marte 60 volte quando è perigeo che quando è apogeo, ancor che all'occhio libero non si mostri più che 4 o 5? Bisogna che rispondiate di sì, perché queste son cose sensate ed eterne, sì che non si può sperare di poter per via di sillogismi dare ad intendere che la cosa passò altrimenti. Or, l'operare col tele-

* * ○ * * Occ.

Entrambe abbastanza visibili; le altre due erano vicina Giove, e molto piccole, soprattutto quella ad oriente stava da Giove zero minuti, 40 secondi; l'occidentale non un minuto. Alle quattro la stellina che era più vicina a Giove, non appariva più.

no tredici, a ore zero, 30 minuti, apparivano due stelle ad due ad occidente.

* * ○ * * Occ.

stella più vicina a Giove, abbastanza chiara, distava da Giove zero minuti; da questa la più orientale, meno visibile, distava da Giove 4 minuti; fra le occidentali, la più lontana da Giove, meno visibile, distava da Giove 4 minuti; fra questa e Giove si interponeva una stella più vicina alla stella più occidentale, distando da Giove zero minuti, 30 secondi. Erano tutte sulla stessa retta secondo la linea dell'eclittica.

no quindici (il quattordici il cielo era stato coperto da una nuvola, tale era la posizione degli astri:

* ** ○ Occ.

Erano tre stelle a oriente, e nessuna se ne vedeva a occidente: la più vicina a Giove ne distava zero minuti, 50 secondi; la più lontana distava da questa zero minuti, 20 secondi; da questa la più orientale distava 2 minuti, ed era maggiore delle altre; le due stelle a Giove erano infatti molto piccole. Ma, verso le tre, le stelle vicine a Giove se ne vedeva solo una,

* * ○ Occ.

La distanza da Giove era aumentata: era infatti allora di 4 minuti. Ma, verso le due, come ora si disse, poste ad oriente, si vedeva anche una stellina, molto piccola, distante da Giove 2

* * ○ * Occ.

Satellites of Jupiter

Phases of Venus

But still much like Plato's dialogues

Electromagnetism: Italy

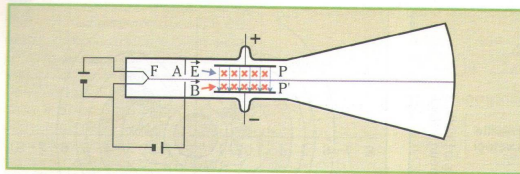


Fig. 12 (a sinistra) – Versione moderna del dispositivo di Thomson per la misura della carica specifica degli elettroni. Tra le piastre P e P' esistono un campo elettrico e un campo magnetico ortogonali tra loro.

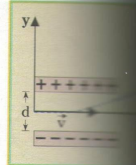


Fig. 13 (a destra) – Deflessione degli elettroni tra le piastre del dispositivo della figura precedente per effetto del campo elettrico.

per effetto termoionico dovuto al riscaldamento (cattodici) come nell'apparato usato da Thomson.

Gli elettroni emessi da F sono accelerati, in un tubo fatto il vuoto, per mezzo di una differenza di potenziale V con P positiva rispetto a P', il fascio di elettroni viene deviato verso l'alto dal campo elettrico E (fig. 12).

Indicando con L la lunghezza delle piastre e con Y la deflessione dello schermo, si dimostra (→ esempio 3) che la deflessione Y sullo schermo è espresso dalla relazione:

$$Y = \frac{eE}{m v^2} \left(\frac{L^2}{2} + DL \right)$$

in cui e, m e v sono carica, massa e velocità degli elettroni. Il modulo E del campo elettrico può essere espresso come rapporto V/d tra la d.d.p. e la distanza d tra le piastre. Il rapporto V/d diventa:

$$E = \frac{eV}{dm v^2} \left(\frac{L^2}{2} + DL \right)$$

Misurando Y, nella (11) restano ancora tre incognite: si può perciò ricavare il rapporto e/m, cioè la carica specifica degli elettroni, solo determinando la loro velocità.

Thomson ottenne un'altra equazione applicando un campo magnetico perpendicolare tanto al fascio degli elettroni quanto al campo elettrico: in figura 12 le linee di forza del campo magnetico, rappresentate con croci, hanno il verso entrante.

Tenendo presente il verso della forza esercitata dal campo magnetico su una carica in moto, è facile stabilire che per effetto del campo magnetico sono deviati verso il basso, in verso opposto alla deviazione prodotta dal campo elettrico.

Thomson applicò simultaneamente un campo elettrico e un campo magnetico, regolandone i moduli in modo che il fascio di elettroni passasse indeflesso attraverso la regione dello schermo. Si raggiunge questa condizione se la forza elettrica è bilanciata da quella magnetica, cioè se, detto B il modulo dell'induzione magnetica, sussiste l'equazione:

$$eE = evB$$

Misurando i campi E e B nelle condizioni di assenza di deflessione, dalla precedente si ottiene:

$$v = \frac{E}{B}$$

$$v = \frac{V}{dB} \quad (13)$$

Sostituendo questo valore nella (11) e risolvendo rispetto al rapporto e/m si ottiene:

$$\frac{e}{m} = \frac{2YV}{dB^2(L^2 + 2DL)} \quad (14)$$

Tutte le grandezze a secondo membro sono misurabili. Thomson misurò il rapporto e/m per gli elettroni dei raggi catodici e trovò un unico valore, indipendente dalla natura del catodo e dal gas residuo nel tubo.

In virtù di questa indipendenza egli pensò che i raggi catodici erano una comune costituente di tutta la materia.

Il valore di Thomson per e/m fu $1,7 \cdot 10^{11}$ coulomb/kg, abbastanza vicino a quello determinato con misure più recenti, uguale a:

$$(1,758897 \pm 0,000032) \cdot 10^{11} \frac{C}{kg}$$

ESempi

Un elettrone penetra con velocità v nel campo elettrico uniforme di un condensatore, tra le armature è applicata una tensione V. All'uscita del condensatore viene intercettato da uno schermo fluorescente a distanza L dal condensatore (fig. 14). Se L è la lunghezza delle armature e d la distanza, calcolare la deflessione totale dell'elettrone sullo schermo.

Fissato un sistema cartesiano Oxy come in figura, osserviamo che sull'elettrone agisce nella regione del campo elettrico la forza eE, diretta nel verso positivo dell'asse y. L'elettrone perciò ha nella stessa direzione l'accelerazione costante eE/m. Tenendo conto che lungo l'asse x, perpendicolare alle linee di forza del campo elettrico, non agisce alcuna forza, le equazioni parametriche della traiettoria dell'elettrone nella regione del campo elettrico sono:

$$\begin{cases} x = vt \\ y = \frac{1}{2} \frac{eE}{m} t^2 \end{cases}$$

da cui, eliminando t, si ottiene l'equazione cartesiana della traiettoria (parabola):

$$y = \frac{1}{2} \frac{eE}{m v^2} x^2 \quad (*)$$

La deflessione AB dell'elettrone all'uscita dal campo elettrico si ottiene ponendo nel secondo membro della (*) $x = L$. Si ha perciò:

$$AB = \frac{1}{2} \frac{eEL^2}{m v^2} \quad (**)$$

All'esterno del condensatore la traiettoria è la retta tangente alla parabola, il cui coefficiente angolare è la derivata della funzione y(x) espressa dalla (*) e calcolata per $x = L$. Si ha perciò:

$$\operatorname{tg} \alpha = y'(L)$$

cioè:

$$\operatorname{tg} \alpha = \frac{eEL}{m v^2}$$

per cui la successiva deflessione BC dell'elettrone è:

$$BC = D \operatorname{tg} \alpha = \frac{eELD}{m v^2} \quad (***)$$

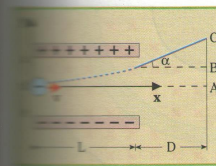
La deflessione totale è $Y = AB + CD$. Tenendo conto delle (**) e (***) si ha perciò:

$$Y = \frac{eE}{m v^2} \left(\frac{L^2}{2} + DL \right)$$

che coincide con la (10). Ponendo infine nella precedente $E = V/d$, si ottiene:

$$Y = \frac{eV}{dm v^2} \left(\frac{L^2}{2} + DL \right)$$

che è la relazione (11).



This is Thompson's „discovery” of electron i.e. measurement e/m

Quite high mathematical skills & high level physical concepts

Electrostatics: Italy

Esperimento 3

Avviciniamo, senza che avvenga il contatto, a un elettroscopio scarico un corpo elettrizzato, per esempio positivamente: osserviamo (fig. 8a) che le foglioline divergono per poi chiudersi quando allontaniamo dall'elettroscopio il corpo elettrizzato (fig. 8b).

Evidentemente, quando il corpo elettrizzato è vicino all'elettroscopio, si producono sulle foglioline cariche di ugual segno. Il fatto poi che le foglioline si chiudono, quando si allontana il corpo elettrizzato, dimostra chiaramente che le cariche elettriche sulle foglioline persistono solo finché il corpo elettrizzato è vicino.

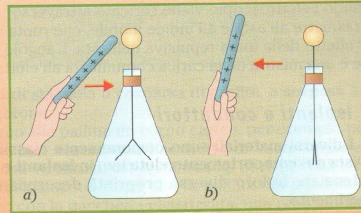


Fig. 8 - Avvicinando a un elettroscopio un corpo elettrizzato si osserva che le foglioline divergono finché il corpo elettrizzato è vicino (a) e si chiudono quando quest'ultimo viene allontanato (b).

Esperimento 4

Vengono usati due elettroscopi con un cilindro metallico all'estremità esterna dell'asta. Gli elettroscopi sono disposti come in figura 9a, cioè con i cilindri a contatto in modo da formare un unico conduttore. L'esperimento può anche essere eseguito con due conduttori qualsiasi posti a contatto; l'uso degli elettroscopi ha il solo scopo di osservare più facilmente le cariche elettriche che si producono nell'esperimento.

Avviciniamo agli elettroscopi a contatto una bacchetta elettrizzata, per esempio positivamente (fig. 9a): osserviamo che le foglioline di entrambi divergono. Separiamo poi gli elettroscopi (fig. 9b), mentre il corpo elettrizzato è ancora vicino: le foglioline restano ancora aperte. Infine (fig. 9c) allontaniamo la bacchetta: si può osservare che gli elettroscopi restano carichi, precisamente quello più vicino all'induttore resta carico negativamente e quello più lontano positivamente.

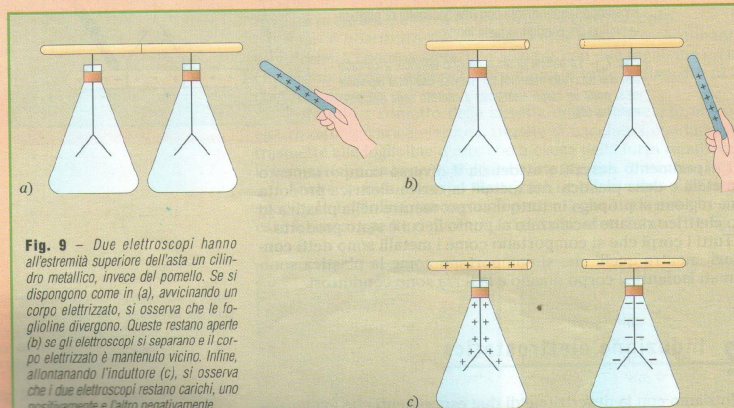


Fig. 9 - Due elettroscopi hanno all'estremità superiore dell'asta un cilindro metallico, invece del pomello. Se si dispongono come in (a), avvicinando un corpo elettrizzato, si osserva che le foglioline divergono. Queste restano aperte (b) se gli elettroscopi si separano e il corpo elettrizzato è mantenuto vicino. Infine, allontanando l'induttore (c), si osserva che i due elettroscopi restano carichi, uno positivamente e l'altro negativamente.

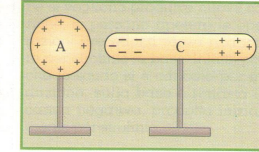


Fig. 10 - Se avviciniamo un corpo A carico positivamente a un corpo C conduttore e inizialmente neutro, il conduttore si carica negativamente nella parte più vicina ad A e positivamente in quella più lontana.

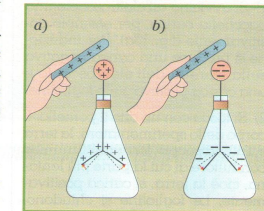


Fig. 11 - Si può riconoscere il segno della carica posseduta da un elettroscopio, avvicinando a questo una bacchetta carica positivamente: se la divergenza delle foglioline aumenta, la carica è positiva (a), mentre se la divergenza diminuisce la carica è negativa (b).

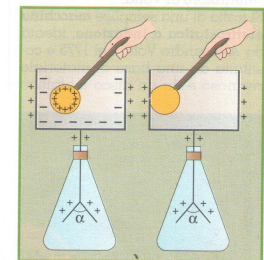


Fig. 12 - Immergendo nell'interno di un cilindro metallico, detto pozzo di Faraday, collegato all'asta di un elettroscopio, una sfera elettrizzata, la divergenza delle foglioline di quest'ultimo è sempre la stessa sia che la sfera non tocchi la parete del pozzo sia che la tocchi.

Il fenomeno evidenziato nei due esperimenti descritti, cioè il particolare processo di elettrizzazione di un conduttore (l'elettroscopio nel primo esperimento e la coppia di elettroscopi nel secondo), inizialmente neutro, se gli si avvicina un corpo carico, prende il nome di **induzione elettrostatica**. Il corpo carico (la bacchetta elettrizzata in entrambi gli esperimenti) che produce il fenomeno si chiama **induttore**, mentre il conduttore che lo subisce si chiama **indotto**.

Dagli stessi esperimenti deduciamo che, più in generale, un conduttore C (fig. 10) in vicinanza di un corpo A carico, per esempio positivamente, subisce il fenomeno dell'induzione elettrostatica, assumendo una carica opposta a quella del corpo **induttore** A nella parte più vicina e una carica dello stesso segno nella parte più lontana.

Le due cariche indotte sono uguali in valore assoluto dal momento che l'indotto C ritorna allo stato neutro, quando si allontana l'induttore.

Utilizzando l'induzione elettrostatica si può anche riconoscere il segno della carica posseduta da un corpo, per esempio da un elettroscopio.

Avviciniamo all'elettroscopio una bacchetta carica positivamente: sulle foglioline si produce una carica indotta positiva. Se la divergenza delle foglioline aumenta (fig. 11a), vuol dire che la carica che già si trovava sull'elettroscopio prima dell'induzione era positiva; la carica indotta positiva, infatti, sommandosi con quella preesistente, fa aumentare la carica complessiva e quindi anche la divergenza delle foglioline.

Se invece la divergenza delle foglioline diminuisce (fig. 11b), vuol dire che la carica posseduta dall'elettroscopio prima dell'induzione era negativa; la carica indotta positiva infatti fa diminuire quella complessiva e quindi diminuisce anche la divergenza delle foglioline.

In questo secondo caso la carica positiva indotta, se è sufficientemente grande, può neutralizzare completamente la carica negativa dell'elettroscopio e rimanere su questo in parte non neutralizzata; l'elettroscopio allora prima si scarica e poi si carica positivamente e di conseguenza le foglioline prima si chiudono e poi si aprono di nuovo.

Abbiamo osservato che le cariche elettriche indotte in un conduttore sono opposte, dal momento che il conduttore ritorna allo stato neutro quando si allontana l'induttore.

Il comune valore delle due opposte cariche indotte è generalmente minore della carica dell'induttore; in qualche caso però può essere uguale.

Consideriamo un cilindro metallico, detto **pozzo di Faraday** (dal nome del fisico inglese Michael Faraday, 1791-1867), munito di una piccola apertura e collegato all'asta metallica di un elettroscopio come in figura 12.

Se immergiamo nell'interno del pozzo, senza toccare le pareti, una sfera carica positivamente per mezzo di un manico isolante, il cilindro e l'asta dell'elettroscopio subiscono l'induzione elettrostatica e di conseguenza le foglioline divergono.

Si osserva sperimentalmente che la divergenza delle foglioline rimane inalterata anche quando la sfera è a contatto con la parete interna del cilindro; da ciò si deduce che la carica indotta positiva, di cui la divergenza delle foglioline è una misura, non subisce alcuna variazione al contatto tra la sfera e il cilindro.

Si osserva anche che la sfera, estratta dal pozzo dopo il contatto, non presenta alcuna carica.

Pertanto la sfera, inizialmente carica, ha perduto nel contatto col cilindro tutta la sua carica neutralizzando la carica indotta negativa.

Too many examples

Nadmiar poglądowości prowadzi do infantylności (K. Sośnicki)

Magnetostatics: not so easy to explain

Wyd x astrc x IOP A pc x Qua x Con x The x Znaj x Divi x Nich x The x Scie x cop x Phys x + - □ ×

Niezabezpieczona | dydaktyka.fizyka.umk.pl/zabawki1/index-en.html

Home

Mechanics Optics Thermodynamics Electricity and Magnetism

magnet in the middle is mg coming from its own weight and another mg coming from the weight of the uppermost magnet. So this force is double the force acting on the uppermost magnet. The interaction force between magnets changes similarly to Coulomb's force (it is inversely proportional to the square of distance, even if we do not formulate this dependence in such wording). Therefore, the distance between the lowest and middle magnets is approximately smaller by a factor of square root of 2 than the distance between the middle one and the uppermost magnet.

So

$$F_{12} = F_{21}, F_{32} = F_{23},$$

$$F_{13} = F_{31} = 0,$$

$$F_{21} - mg = 0; F_{21} = mg;$$

$$F_{12} + mg - F_{32} = 0; F_{32} = mg + F_{12}$$

$$F_{23} = 2F_{21}$$

$$k/r_{23}^2 = 2k/r_{12}^2$$

$$r_{23}/r_{12} = 1/\sqrt{2}$$

The plastic stick is very important: it prevents magnets from sliding apart and sticking together. We say that such a stick is a 2D constraint.

In the [levitation pen](#) the configuration of magnets is more complicated, but the constraints consist in just one reaction point. In the [levitron](#) no constraints are visible. but the vertical orientation of the spinning top is preserved thanks to its rotation.

- [Magnetic sketcher](#)
- [Magnetic star](#)
- [Levitating magnets](#)
- [Twisters in Love](#)
- [Axles](#)
- [Levitron](#)
- [Lemon batteries](#)
- [Intelligence Measurer](#)
- [Volta's tongue](#)
- [Valuable money](#)
- [A crank powered torch](#)

Wpisz tu wyszukiwane słowa

21:06 04.11.2020

Italy: quite formal, but precise teaching

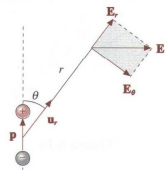
se θ è l'angolo formato da $d\mathbf{B}$ con l'asse x . Quando si considerano i contributi $d\mathbf{B}$ di tutti gli elementi ds che formano la spirale, le componenti parallele all'asse si sommano, mentre quelle trasversali si elidono a due a due, per la simmetria del problema. Nei punti dell'asse della spirale il campo magnetico è dunque parallelo all'asse stesso e concorde a questo se l'orientazione corrisponde a quella della corrente secondo la regola della vite. In totale

$$\mathbf{B} = \oint \frac{\mu_0 i}{4\pi} \frac{\cos\theta}{r^2} ds \mathbf{u}_x = \frac{\mu_0 i}{4\pi} \frac{\cos\theta}{r^2} 2\pi R \mathbf{u}_x,$$

essendo $\cos\theta$ e r costanti, fissato il punto P . Posto $r^2 = x^2 + R^2$ e $\cos\theta = R/r$, si ottiene

$$\mathbf{B}(x) = \frac{\mu_0 i R^2}{2r^3} \mathbf{u}_x = \frac{\mu_0 i R^2}{2(x^2 + R^2)^{3/2}} \mathbf{u}_x, \quad (8.12)$$

Campo sull'asse di una spirale circolare



Osserviamo che \mathbf{B} ha lo stesso verso in tutti i punti dell'asse. Nel centro della spirale ($x=0$) il campo è massimo e vale

$$\mathbf{B}_{\max} = \frac{\mu_0 i}{2R} \mathbf{u}_x; \quad (8.13)$$

per $x \rightarrow \infty$ il campo tende a zero.

Quando è soddisfatta la condizione $x \gg R$ la (8.12) diventa

$$\mathbf{B}(x) = \frac{\mu_0 i R^2}{2x^3} \mathbf{u}_x = \frac{\mu_0}{4\pi} \frac{2i\pi R^2}{x^3} \mathbf{u}_x = \frac{\mu_0}{4\pi} \frac{2\mathbf{m}}{r^3} \quad (8.14)$$

se indichiamo con $\mathbf{m} = i \Sigma \mathbf{u}_x = i \pi R^2 \mathbf{u}_x$ il momento magnetico (7.18) della spirale.

Anche nel caso della spirale circolare ritroviamo il risultato (8.11) già visto nell'esempio 8.1, e cioè che il campo magnetico prodotto dalla spirale nei punti dell'asse ha la stessa struttura del campo elettrico prodotto da un dipolo, purché ci si ponga a una distanza molto maggiore delle dimensioni del sistema. L'analogia non è limitata ai punti dell'asse, ma si trova che in generale l'andamento del campo magnetico \mathbf{B} della spirale è identico a quello del campo elettrico \mathbf{E} di un dipolo, così che valgono le espressioni (2.61)

$$\mathbf{B} = \frac{\mu_0}{4\pi} \frac{m}{r^3} (2 \cos\theta \mathbf{u}_x + \sin\theta \mathbf{u}_\theta) \quad (8.15)$$

in cui sono messe in evidenza la componente radiale e la componente trasversale, e (2.62)

$$\mathbf{B} = \frac{\mu_0}{4\pi r^3} [3(\mathbf{m} \cdot \mathbf{u}_x) \mathbf{u}_x - \mathbf{m}] \quad (8.16)$$

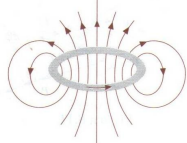
in cui il campo \mathbf{B} è dato come somma di una componente radiale e di una componente antiparallela al momento magnetico \mathbf{m} ; il verso di \mathbf{m} è legato a quello della corrente dalla solita convenzione.

Come nel caso del filo rettilineo i risultati possono essere verificati osservando con la limatura di ferro gli spettri magnetici oppure analizzando le linee di campo con un piccolo ago magnetico; si trova confermato pienamente il postulato di equivalenza di Ampère.

Figura 8.12



Figura 8.13



Field of a dipole $\sim 1/r^3$

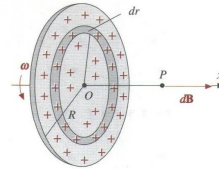


Figura 8.15

Se $x^2 \ll R^2$, come è nel nostro caso, il campo magnetico si può approssimare con l'espressione

$$B = \frac{\mu_0 \omega \sigma R}{2}$$

Numericamente, essendo $\omega = 2\pi N = 4\pi \cdot 10^2$ rad/s,

$$B = \frac{4\pi \cdot 10^{-7} \cdot 4\pi \cdot 10^2 \cdot 10^{-6} \cdot 0.2}{2} = 1.58 \cdot 10^{-10} \text{ T.}$$

Questo campo è molto piccolo rispetto al campo magnetico terrestre, che è dell'ordine di 10^{-5} T, per cui la sua rivelazione pone notevoli problemi sperimentali. Tuttavia la misura fu eseguita da Rowland nel 1878 e mise in evidenza per la prima volta che gli effetti magnetici prodotti da un corpo carico in moto non differiscono qualitativamente da quelli delle correnti elettriche.

Solenoido rettilineo

Un solenoido rettilineo è costituito da un filo conduttore avvolto a forma di elica cilindrica di piccolo passo. Sia d la lunghezza del solenoido, R il raggio, N il numero totale di spire, $n = N/d$ il numero di spire per unità di lunghezza; se queste sono abbastanza fitte, così da poterle considerare distribuite con continuità, nel tratto dx ci sono $n dx$ spire. Il valore del campo magnetico in un punto P sull'asse si calcola con la formula (8.12) del campo di una spirale percorsa dalla corrente $n i dx$:

$$dB = \frac{\mu_0 i R^2 n}{2r^3} dx;$$

esso è parallelo all'asse x ed è legato al verso della corrente dalla regola della vite. Introducendo la variabile ϕ come in figura 8.16 si vede che

$$r \sin\phi = R, \quad x - x_0 = -R \cot\phi, \quad dx = \frac{R d\phi}{\sin^2\phi} \Rightarrow dB = \frac{\mu_0 n i}{2} \sin\phi d\phi.$$

Il campo magnetico nel punto P si ottiene sommando su tutte le spire ovvero integrando da ϕ_1 a ϕ_2 :

$$B = \frac{\mu_0 n i}{2} \int_{\phi_1}^{\phi_2} \sin\phi d\phi = \frac{\mu_0 n i}{2} (\cos\phi_1 - \cos\phi_2) = \frac{\mu_0 n i}{2} (\cos\phi_1 + \cos\phi_2),$$

in cui ϕ_1 e ϕ_2 sono gli angoli sotto cui sono viste da P le spire terminali del solenoido.

Misurando x rispetto al centro del solenoido si ha

$$B(x) = \frac{\mu_0 n i}{2} \left[\frac{d+2x}{\sqrt{(d+2x)^2 + 4R^2}} + \frac{d-2x}{\sqrt{(d-2x)^2 + 4R^2}} \right]. \quad (8.20)$$

Il campo magnetico è massimo al centro del solenoido ($x=0$), dove vale

$$B_0 = \mu_0 n i \frac{d}{\sqrt{d^2 + 4R^2}}; \quad (8.21)$$

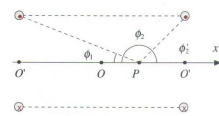
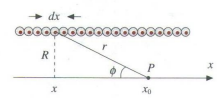


Figura 8.16

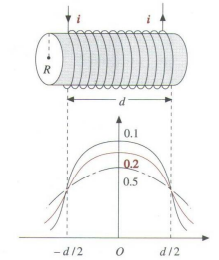


Figura 8.17

Field of solenoid is not uniform

Electromagnetism: Belgium/ France

1 LES AIMANTS



Fig. 1. Fragment de pierre magnétique.

1.1. Des roches magnétiques

Depuis les temps les plus reculés, les hommes ont remarqué que certaines pierres « magnétiques » ont la propriété de s'attirer entre elles en certaines zones, leurs **pôles**.

Ces corps, appelés **aimants**, sont constitués par de l'oxyde magnétique de fer Fe_3O_4 (fig. 1).

Nature

1.2. Un instrument utile : la boussole

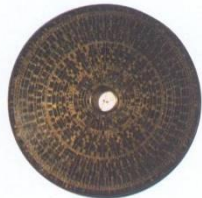


Fig. 2. Une boussole ancienne (Chine).

Les pierres « magnétiques » possèdent une autre propriété : libres de s'orienter, elles prennent toujours la même direction. Selon certains auteurs, deux siècles avant notre ère, les Chinois ont utilisé ce phénomène pour construire les premières boussoles (fig. 2).

Les boussoles actuelles (une aiguille aimantée mobile sur un pivot vertical au-dessus de la rose des vents) proviennent d'un lent perfectionnement de ces premières boussoles.

History

1.3. Les aimants artificiels

De nos jours, les aimants artificiels sont en acier ou en alliages et ils ont des formes variées (fig. 3) : barreau droit, aimant en U, aiguille aimantée...

Experiment

1.4. Pôle nord, pôle sud

- Les pôles d'un aimant ne sont pas identiques ; on distingue le **pôle nord** du **pôle sud**. Deux pôles de même nom se repoussent, alors que deux pôles de noms différents s'attirent.

- Il est impossible d'isoler le pôle nord du pôle sud d'un aimant. En effet, chaque fragment obtenu après avoir brisé un aimant en deux se comporte comme un nouvel aimant possédant un pôle nord et un pôle sud (fig. 4).



Fig. 3. Quelques aimants artificiels bipolaires.

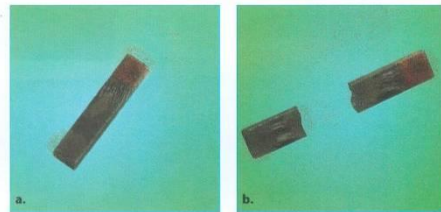


Fig. 4. Expérience de l'aimant brisé : chaque fragment se comporte comme un nouvel aimant.

2 NOTION DE CHAMP MAGNÉTIQUE

2.1. Action sur une aiguille aimantée

expérience

- Poser sur une table une petite aiguille aimantée mobile autour d'un axe fixe vertical. La direction prise par l'aiguille est matérialisée par un fil.
- Approcher successivement de l'aiguille un aimant (fig. 5a), puis un circuit parcouru par un courant : fil ou bobine (fig. 5b).
- Renouveler l'expérience en inversant les pôles de l'aimant, le sens du courant, la forme de l'aimant...

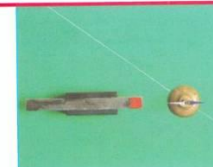
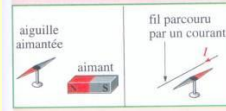


Fig. 5a. Action d'un aimant : l'aiguille change de direction.

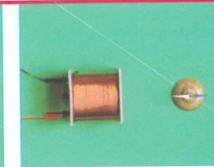


Fig. 5b. Action d'un courant électrique.

Observations ► L'aiguille aimantée indique spontanément le nord magnétique. Elle change d'orientation quand on approche un aimant (fig. 5a) ou une bobine parcourue par un courant électrique (fig. 5b). Sa nouvelle orientation dépend de nombreux facteurs :

- la position de l'aimant, notamment de ses pôles ;
- la position du circuit, sa forme, le sens et l'intensité du courant.

Interprétation ► L'orientation particulière prise par la petite aiguille aimantée met en évidence la modification des propriétés magnétiques au point de l'espace où elle est placée.

L'espace autour des aimants et des circuits électriques parcourus par des courants a des propriétés magnétiques particulières qui peuvent être détectées par une aiguille aimantée.

2.2. L'espace champ magnétique

expérience

- Placer au voisinage d'un aimant plusieurs petites aiguilles aimantées mobiles autour d'un axe fixe vertical (fig. 6).

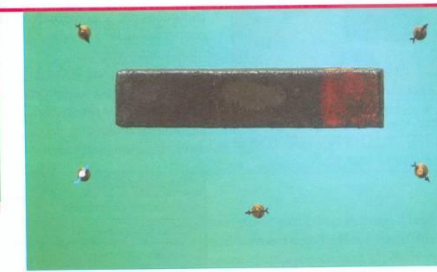
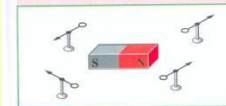


Fig. 6. Quelques aiguilles aimantées disposées autour d'un aimant droit.

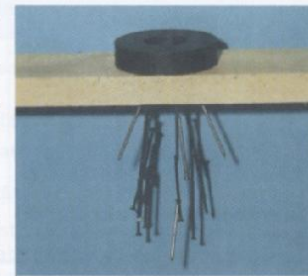
Technical applications

Initial notions

- The review of German school book

<p>Gleiche Magnetpole stoßen sich ab.</p>	<p>Ungleiche Magnetpole ziehen sich an.</p>
--	--

Die magnetische Kraftwirkung kann durch andere Körper hindurchgehen. Nur Körper aus Eisen, Nickel und Kobalt, also aus ferromagnetischen Stoffen, können die magnetische Kraftwirkung und damit das magnetische Feld **abschirmen**. Besonders gut zur **magnetischen Abschirmung** eignen sich Körper aus weichmagnetischen Stoffen, z. B. aus Weicheisen.



Magnetische Felder und ihre Darstellung

Im Raum um Magnete wirken auf andere Magnete bzw. auf Körper aus ferromagnetischen Stoffen Kräfte. Im Raum um Magnete existiert ein **magnetisches Feld**.

Ein magnetisches Feld ist der Zustand des Raumes um Magnete, in dem auf andere Magnete bzw. Körper aus ferromagnetischen Stoffen Kräfte ausgeübt werden.

Magnetische Felder können ebenfalls mithilfe von **Feldlinienbildern** dargestellt werden (S. 203). Ein Feldlinienbild als **Modell** des magnetischen Feldes macht Aussagen über die Kräfte auf Probekörper (z. B. kleine Magnete). Dabei gelten dieselben Aussagen wie für Feldlinienbilder elektrischer Felder (S. 203).

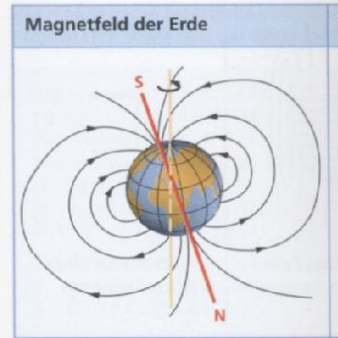
<p>Eisenfeilspäne im magnetischen Feld eines Stabmagneten</p>	<p>Feldlinienbild eines Stabmagneten</p>
--	---

[Faded text from the left page, partially obscured]

[Faded text from the left page, partially obscured]

Feldlinienbilder magnetischer Felder erhält man, wenn man die Linien nachzeichnet, zu denen sich Eisenfeilspäne im Magnetfeld ordnen. Es wurde festgelegt, dass die Richtung der Feldlinien vom magnetischen Nordpol zum Südpol zeigt.

[Faded text from the left page, partially obscured]



Das **Magnetfeld der Erde** ist die Wirkung mit einem Kompass auf der Erde. Die Erde ist ein kleiner Dauermagnet, dessen Nordpol durch die Feldlinien ausrichtet.

Die Stärke des magnetischen Feldes wird durch die **magnetische Feldstärke** beschrieben. Die Größe der Kraft auf einen magnetischen Probekörper an einem bestimmten Punkt befindet, zugrunde gelegt.

Die magnetische Feldstärke an einem Punkt ist die Kraft auf einen magnetischen Probekörper an diesem Punkt.
 Formelzeichen: H
 Einheit: 1 Ampere je Meter

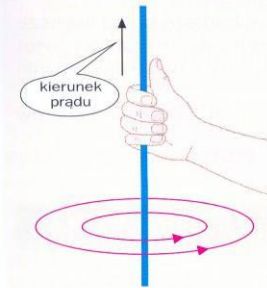
Beim Verschieben eines Probekörpers wird mechanische Arbeit verrichtet. Dazu muss elektrische Energie in mechanische Arbeit umgewandelt werden.

Ein magnetisches Feld besitzt magnetische Energie.

Elektromagnetismus

Im Raum um stromdurchflossene Leiter wirken ebenfalls Kräfte auf magnetische Probekörper. Jeder elektrische Leiter ist bei Stromfluss von einem Magnetfeld umgeben. Besonders stark ist das magnetische Feld, wenn ein Leiter als Spule aufgewickelt ist und einen Eisenkern enthält. Man nennt eine solche stromdurchflossene Spule mit Eisenkern auch **Elektromagnet**.

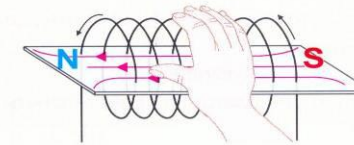
- Description of **the shape of magnetic field** lines inside and outside the coil.
- The magnetic field is similar to that from a **bar magnet**.
- Where is North magnetic pole students **should know** using the right-hand grip rule learned in **gymnasium few years ago**.
- Next we can read what is an **electromagnet** and where it is **applied in technics**, what is electrodynamic force and how to use Fleming's left-hand rule.
- All this resumed on two pages. The book shows **schemes, but not real examples or photos**.



Rys. 2.26

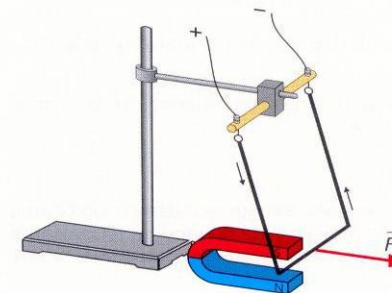
bieguny magnetyczne zwojniczy można wyznaczyć ze znanych ci z gimnazjum **reguł „prawej ręki”**. Sposób postępowania w każdym przypadku ilustrują rysunki 2.26 i 2.27.

Pole magnetyczne każdego przewodnika z prądem jest tym silniejsze, im większe jest natężenie prądu, który płynie przez przewodnik, a w zwojniczy dodatkowo, im większa jest liczba zwojów. Pole magnetyczne zwojniczy staje się jeszcze silniejsze, gdy włożymy do niej żelazny rdzeń. Tak skonstruowane **elektromagnesy** są powszechnie używane w technice, od prostych dzwonków elektrycznych, głośników i przełączników do potężnych dźwigów przenoszących żelazo w hutach.

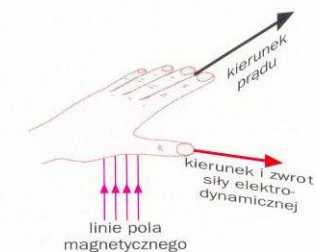


Rys. 2.27

Skoro przewodnik z prądem działa na magnes, jakim jest igła magnetyczna, to zgodnie z trzecią zasadą dynamiki na przewodnik z prądem znajdujący się w polu magnetycznym także powinna działać siła. Istotnie, siła taka działa i nazywa się **siłą elektrodynamiczną** (rys. 2.28). Kierunek siły elektrodynamicznej jest prostopadły do linii pola magnetycznego i do przewodnika, a zwrot zależy

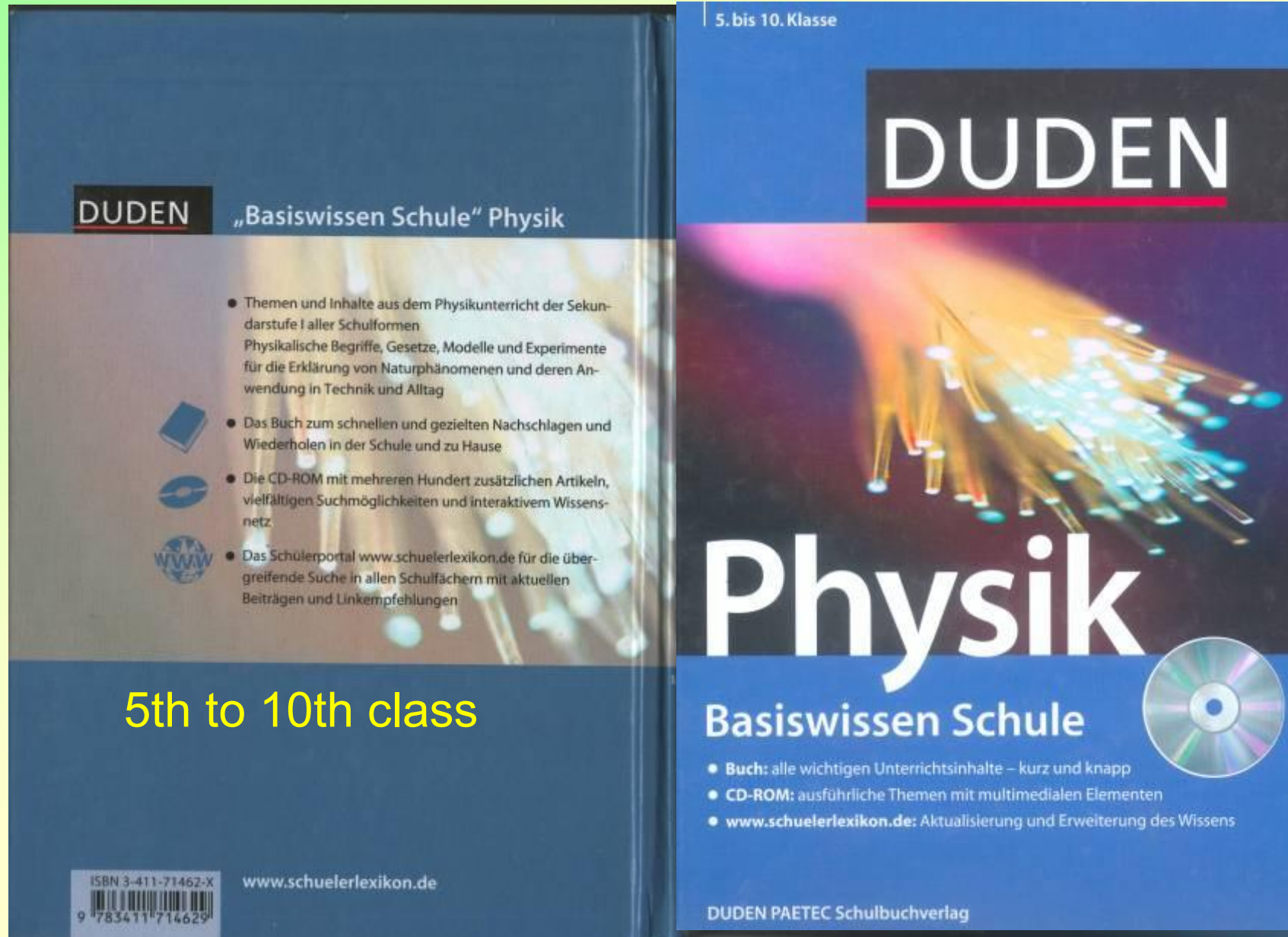


Rys. 2.28



Rys. 2.29

Physik



Physics is practical science

Die Größe elektrische Kapazität

Jeder Kondensator kann bei einer gegebenen Spannung nur eine bestimmte Ladung aufnehmen. Diese unterschiedliche Speicherfähigkeit für elektrische Ladung wird durch die physikalische Größe **elektrische Kapazität** angegeben.

Die Kapazität eines Kondensators gibt an, wie viel elektrische Ladung der Kondensator bei einer Spannung von 1 V speichern kann.

Formelzeichen: C

Einheiten: 1 Farad (1 F)
1 Coulomb je Volt (1 $\frac{C}{V}$)

Teile der Einheit 1 F sind ein Mikrofarad (1 μF), ein Nanofarad (1 nF) und ein Picofarad (1 pF):

$$1 F = 1\,000\,000 \mu F = 1\,000\,000\,000 nF = 1\,000\,000\,000\,000 pF$$

Die Kapazität der meisten Kondensatoren liegt zwischen 1 μF und 1 pF.

Berechnen der elektrischen Kapazität

Die Kapazität eines Kondensators ist von seinem Bau abhängig. Bei einem **Plattenkondensator** ist die Kapazität umso größer, je größer die Flächen der Platten und je kleiner der Abstand der Platten sind. Außerdem ist die Kapazität des Kondensators davon abhängig, welches **Dielektrikum** sich zwischen den beiden Platten befindet.

Die Kapazität eines Plattenkondensators kann mit folgender Gleichung berechnet werden:

$$C = \epsilon_0 \cdot \epsilon_r \cdot \frac{A}{d}$$

A	Flächeninhalt einer Platte
d	Abstand der Platten
ϵ_0	elektrische Feldkonstante
ϵ_r	Dielektrizitätszahl

Wie viel Ladung ein bestimmter Kondensator speichert, ist davon abhängig, welche Spannung am Kondensator anliegt. Je größer die Spannung ist, desto größer ist die gespeicherte Ladung. Das Verhältnis von gespeicherter Ladung und Spannung ist die Kapazität des Kondensators.



Die Kapazität eines Kondensators kann mit folgender Gleichung berechnet werden:

$$C = \frac{Q}{U}$$

Q	elektrische Ladung
U	elektrische Spannung



Die Einheit 1 F ist nach dem englischen Naturforscher **MICHAEL FARADAY** (1791–1867) benannt.



Für die Einheiten gilt:
 $1 F = 1 \frac{C}{V} = \frac{A \cdot s}{V}$



Bei Luft zwischen den Platten ist die Speicherfähigkeit relativ klein. Bei Verwendung von speziellen keramischen Werkstoffen kann sich die Speicherfähigkeit bei gleicher Plattenfläche und gleichem Abstand um den Faktor 10 ... 10 000 erhöhen.



Die **Dielektrizitätszahl**, auch **Permittivitätszahl** genannt, ist eine Materialkonstante, die die Beeinflussung der Kapazität durch das Dielektrikum angibt. Für Luft gilt: $\epsilon_r = 1$



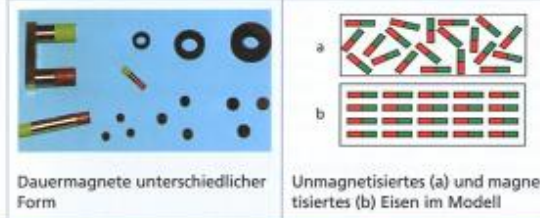
Der Anstieg im **Q-U-Diagramm** ist die Kapazität C des Kondensators.

4.3.2 Das magnetische Feld

Magnete und ihre Wirkungen

Magnete sind Körper, die andere Körper aus Eisen, Nickel oder Kobalt anziehen.

Körper, die diese magnetische Eigenschaft auf Dauer oder über sehr lange Zeit besitzen, nennt man **Dauermagnete** oder **Permanentmagnete**. Dauermagnete bestehen ebenfalls aus Eisen, Nickel oder Kobalt. Sie können verschiedene Formen haben.



Körper, die von Magneten angezogen werden, sind auch selbst magnetisierbar.

Diese Eigenschaft von Stoffen aus Eisen, Nickel und Kobalt, den **ferromagnetischen Stoffen**, ergibt sich aus ihrem Aufbau. Magnetisierbare Stoffe bestehen aus winzigen Bereichen, von denen sich jeder wie ein kleiner Magnet verhält. Im unmagnetisierten Zustand sind diese **Elementarmagnete** völlig ungeordnet. Der Körper ist nach außen hin unmagnetisch. Unter dem Einfluss eines Magneten können sich diese Elementarmagnete ausrichten. Der Körper wird selbst magnetisch.

Die Ausrichtung der Elementarmagnete geht verloren, wenn man einen Magneten zu stark erhitzt oder starken Erschütterungen aussetzt. Lassen sich in einem Stoff die Elementarmagnete leicht ausrichten, so bezeichnet man diesen Stoff als **magnetisch weich**. Stoffe, bei denen die Ausrichtung der Elementarmagnete nur unter dem Einfluss starker Magnete erfolgt und lange Zeit erhalten bleibt, bezeichnet man als **magnetisch hart**. Aus solchen Stoffen stellt man Permanentmagnete her. Zwischen Magneten wirken anziehende oder abstoßende Kräfte. Diese Kräfte sind nicht überall gleich, sondern zwischen den Polen der Magnete am größten.

Jeder Magnet hat zwei Pole, den **Nordpol** und den **Südpol**.

Auch wenn man einen Magneten zerteilt, hat jeder Teil wieder zwei Pole, einen Nordpol und einen Südpol.



Permanentmagnete werden heute vor allem aus Legierungen und Oxidwerkstoffen (Barium- und Eisenoxid) hergestellt.



„ferro“ kommt von der lateinischen Bezeichnung „Ferrum“ für Eisen. Das chemische Zeichen für Eisen ist deshalb auch Fe.

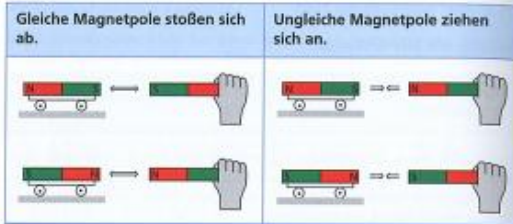


Oberhalb einer bestimmten stoffabhängigen Temperatur geht die Ausrichtung der Elementarmagnete durch die thermische Bewegung der Gitterbausteine verloren.



Magnetpole treten immer paarweise auf. Einzelne Magnetpole gibt es in der Natur nicht.

Physics is interdisciplinary science



Die magnetische Kraftwirkung kann durch andere Körper hindurchgehen. Nur Körper aus Eisen, Nickel und Kobalt, also aus ferromagnetischen Stoffen, können die magnetische Kraftwirkung und damit das magnetische Feld abschirmen. Besonders gut zur magnetischen Abschirmung eignen sich Körper aus weichmagnetischen Stoffen, z. B. aus Weich Eisen.



Magnetische Felder und ihre Darstellung

Im Raum um Magnete wirken auf andere Magnete bzw. auf Körper aus ferromagnetischen Stoffen Kräfte. Im Raum um Magnete existiert ein magnetisches Feld.

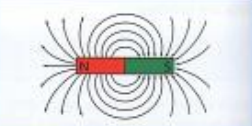
Ein magnetisches Feld ist der Zustand des Raumes um Magnete, in dem auf andere Magnete bzw. Körper aus ferromagnetischen Stoffen Kräfte ausgeübt werden.

Magnetische Felder können ebenfalls mithilfe von Feldlinienbildern dargestellt werden (S. 203). Ein Feldlinienbild als Modell des magnetischen Feldes macht Aussagen über die Kräfte auf Probekörper (z. B. kleine Magnete). Dabei gelten dieselben Aussagen wie für Feldlinienbilder elektrischer Felder (S. 203).

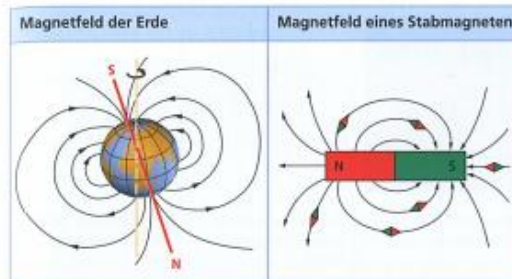
Eisenfeilspäne im magnetischen Feld eines Stabmagneten



Feldlinienbild eines Stabmagneten



Feldlinienbilder magnetischer Felder erhält man, wenn man die Linien nachzeichnet, zu denen sich Eisenfeilspäne im Magnetfeld ordnen. Es wurde festgelegt, dass die Richtung der Feldlinien vom magnetischen Nordpol zum Südpol zeigt.



Das Magnetfeld der Erde ist die Voraussetzung dafür, dass man sich mit einem Kompass auf der Erde orientieren kann. Die Kompassnadel ist ein kleiner Dauermagnet, der sich im Erdmagnetfeld entsprechend der Feldlinien ausrichtet.

Die Stärke des magnetischen Feldes in einem bestimmten Punkt kann durch die magnetische Feldstärke beschrieben werden. Dabei wird die Größe der Kraft auf einen magnetischen Probekörper, der sich in diesem Punkt befindet, zugrunde gelegt.

Die magnetische Feldstärke an einem Punkt gibt an, wie groß die Kraft auf einen magnetischen Probekörper in diesem Punkt des Feldes ist.

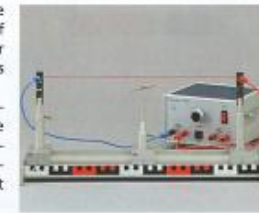
Formelzeichen: H
 Einheit: 1 Ampere je Meter $(1 \frac{A}{m})$

Beim Verschieben eines Probekörpers im Magnetfeld wird mechanische Arbeit verrichtet. Dazu muss Energie des magnetischen Feldes in mechanische Arbeit umgewandelt werden.

Ein magnetisches Feld besitzt magnetische Energie.

Elektromagnetismus

Im Raum um stromdurchflossene Leiter wirken ebenfalls Kräfte auf magnetische Probekörper. Jeder elektrische Leiter ist bei Stromfluss von einem Magnetfeld umgeben. Besonders stark ist das magnetische Feld, wenn ein Leiter als Spule aufgewickelt ist und einen Eisenkern enthält. Man nennt eine solche stromdurchflossene Spule mit Eisenkern auch Elektromagnet.



Bei der Orientierung mit dem Kompass ist zu beachten, dass der geographische Nordpol in der Nähe des magnetischen Südpols liegt.

Es besteht auch hier der allgemeine Zusammenhang, dass die Arbeit gleich der Energieänderung ist.

Die Kraftwirkung zwischen einer Magnetspule und einem stromdurchflossenen Leiter entdeckte HANS CHRISTIAN ØRSTED (1777–1851) zufällig bei Experimenten. Damit wurde der Zusammenhang zwischen Elektrizität und Magnetismus gefunden.

Physics around us

1.1 Gegenstand und Teilgebiete der Physik

1.1.1 Die Naturwissenschaft Physik

Wenn man die Umwelt aufmerksam betrachtet, kann man viele interessante Erscheinungen beobachten. Eine Reihe dieser Erscheinungen sind den Menschen schon lange bekannt. Sie gehören zur Natur, auch ohne den Menschen mit seinen Wissenschaften und der Technik.

Eine solche Naturerscheinung ist der Regenbogen. Wie entsteht ein Regenbogen? Warum hat ein Regenbogen immer dasselbe Farbband?

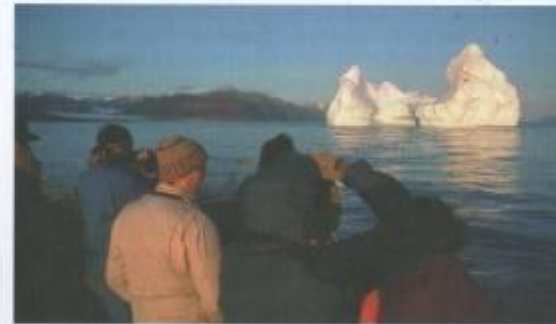


Das Feuer hat Menschen schon immer in seinen Bann gezogen und tut es auch heute noch. Woher aber kommen Licht und Wärme des Feuers? Warum geben unterschiedliche Brennmaterialien unterschiedlich viel Licht und Wärme ab? Wie kann ein Feuer entstehen, wie kann es gelöscht werden?

Das Feuer hat für die Entwicklung der Menschen eine entscheidende Rolle gespielt. Mithilfe des Feuers konnten die Menschen erstmals Fleisch braten, Ton brennen und später Eisen herstellen.



Bei einem Eisberg sieht man nur die Spitze über dem Wasser. Etwa 90 % des Eisberges befinden sich unter Wasser. Wie ist das zu erklären? Warum gehen diese riesigen Eisberge nicht unter?



Deshalb ist Vorsicht bereits bei der Annäherung an Eisberge geboten, damit das Schiff nicht unter Wasser mit Eis zusammenstößt. So wurde 1912 durch Kollision mit einem Eisberg das damals modernste Passagierschiff der Welt, die „Titanic“, so schwer beschädigt, dass es sank und 1495 Tote zu beklagen waren.

In einem Tal zwischen hohen Bergen kann man nach kurzer Zeit seinen Ruf als Echo hören. Wie kommt es zu einem Echo bzw. zu einem Mehrfachecho?



Durch Beobachtungen haben die Menschen *Regelmäßigkeiten in der Natur* entdeckt, z. B. den Wechsel von Tages- und Jahreszeiten, den Wechsel der Mondphasen sowie das Auftreten von Sonnen- und Mondfinsternissen. Mithilfe dieser Regelmäßigkeiten und den ermittelten Daten konnten die Menschen z. B. die Termine für Aussaat und Ernte besser bestimmen.

Die Menschen suchten aber auch nach *Zusammenhängen* zwischen den Erscheinungen, um *Erklärungen* zu finden und ihre *Voraussagen* sicherer zu machen. Und sie fanden Zusammenhänge und Erklärungen, auch wenn sich diese später häufig als nicht richtig erwiesen.

Duden: Great scientists



CLAUDIUS PTOLEMÄUS lebte von ca. 100 bis ca. 170. Er stellte das geozentrische Weltbild in seinem Werk „Syntaxis mathematica“ (Mathematische Zusammenstellung), arabisch auch „Almagest“ genannt, vor.

Aus den beobachteten Bewegungen der Himmelskörper, vor allem von Sonne, Mond und Sternen, leiteten die Menschen z.B. im Altertum die nahe liegende Vermutung ab, dass sich die Erde im Zentrum der Welt befindet und sich alle Himmelskörper auf kreisförmigen Bahnen um die Erde bewegen.

Gelehrte aus dem antiken Griechenland entwickelten daraus ein ganzes Weltbild über die Bewegungen im Kosmos und auf der Erde.

CLAUDIUS PTOLEMÄUS fasste dieses **geozentrische Weltbild** in einem Buch zusammen. Dieses Weltbild war eine großartige Leistung der antiken Wissenschaft, denn man konnte die Bewegung von Sonne und Mond vorausberechnen. So blieb dieses Weltbild jahrhundertlang erhalten und war doch falsch.

Im Mittelalter konnten Gelehrte wie KOPERNIKUS (1473–1543), GALILEI (1564–1642), KEPLER (1571–1630) und NEWTON (1643–1727) auf der Grundlage von Beobachtungen und theoretischen Überlegungen ein wissenschaftliches Weltbild entwickeln, in dem die Sonne im Zentrum unseres Planetensystems steht – das **heliocentrische Weltbild**.

GALILEI war auch der erste Wissenschaftler, der **neue Denk- und Arbeitsweisen** in die Naturwissenschaften einführte. Er suchte nicht nur nach oberflächlichen Erklärungen, die dem Augenschein entsprechen, sondern fragte nach dem Wesentlichen in den Erscheinungen. Vor allem aber zeigte er, dass man zu neuen Erkenntnissen nicht allein durch theoretische Überlegungen kommt, sondern dass man seine Überlegungen mit **Experimenten** überprüfen muss.

Der italienische Naturwissenschaftler **GALILEO GALILEI** lebte von 1564 bis 1642.

Er war nicht nur ein berühmter Mathematiker, sondern beschäftigte sich auch mit verschiedenen physikalischen und astronomischen Problemen.

So begründete GALILEO u.a. die klassische Mechanik, fand die Gesetze des freien Falls und entdeckte mit einem selbst gebauten Fernrohr vier Jupitermonde.

Er war einer der Mitbegründer des heliocentrischen Weltbildes.



Ein berühmter Experimentator war auch der Magdeburger Bürgermeister **OTTO VON GUERICKE** (1602–1686). Er konnte z.B. bei seinem Experiment mit den Magdeburger Halbkugeln (s. Abb. unten) die Wirkungen des Luftdruckes nachweisen. Damit widerlegte er gleichzeitig eine lange herrschende Auffassung aus der Antike, dass es keinen luftleeren Raum – kein Vakuum – geben könne.

Durch viele Entdeckungen, Beobachtungen und Experimente entwickelte sich in den letzten Jahrhunderten die Physik als eigenständige Naturwissenschaft.

Die Physik ist eine Naturwissenschaft. Sie beschäftigt sich mit den grundlegenden Erscheinungen und Gesetzen in unserer natürlichen Umwelt und ermöglicht die Erklärung und Voraussage vieler Erscheinungen in der Natur.

Sonnen- und Mondfinsternisse sind Naturerscheinungen, die von Menschen schon seit Jahrtausenden beobachtet werden. Lange Zeit war aber unklar, wie eine Finsternis zustande kommt. Erst nachdem man erkannt hatte, wie sich Mond und Erde um die Sonne bewegen, konnte man die Finsternisse erklären: Eine Sonnenfinsternis kommt zustande, wenn der Schatten des Mondes auf die Erdoberfläche fällt. Eine Mondfinsternis ist zu beobachten, wenn sich der Mond im Erdschatten befindet.

Erst nach genauer Kenntnis der Bewegungsgesetze war es auch möglich, exakte Voraussagen zu machen. So können wir heute schon voraussagen, dass die nächste totale Sonnenfinsternis in Deutschland erst am 3. September 2081 zu beobachten sein wird.



OTTO VON GUERICKE (1602–1686) war Bürgermeister und Experimentator. Er erfand u.a. die Luftpumpe, das Wasserbarometer und eine Elektriziermaschine.

Das Wort „Physik“ kommt vom griechischen Wort „physis“ und heißt so viel wie „Natur“.



Branches and applications of physics

Die **physische Geographie** untersucht die Wechselbeziehungen zwischen Lufthülle, Gesteinshülle, Wasserhülle und Lebewesen in der Nähe der Erdoberfläche sowie die Einflüsse der menschlichen Gesellschaft auf die Ausprägung der Landschaften.

Die einzelnen naturwissenschaftlichen Disziplinen untersuchen in der Regel nur Teilbereiche der Natur unter ganz bestimmten Gesichtspunkten. Unsere natürliche Umwelt ist aber ein einheitliches Ganzes. Um Erscheinungen der Natur richtig zu verstehen, müssen deshalb oft Erkenntnisse aus verschiedenen Naturwissenschaften herangezogen werden. Folglich wird in einer naturwissenschaftlichen Disziplin stets versucht, auch die Erkenntnisse anderer Naturwissenschaften zu berücksichtigen und anzuwenden.

In Grenzbereichen zwischen den verschiedenen Naturwissenschaften haben sich neue naturwissenschaftliche Disziplinen wie Biophysik, physikalische Chemie oder Astrophysik entwickelt. Diese Teildisziplinen versuchen ganz gezielte Fragen und Probleme in der einen Naturwissenschaft durch Anwendung von Erkenntnissen aus der anderen Naturwissenschaft zu lösen.

Besonders in der Medizintechnik werden Erkenntnisse aus allen Naturwissenschaften benötigt, um kranke Menschen zu heilen und Gesundheit zu erhalten.

Bei Ultraschalluntersuchungen (linke Abb.) wird von einem Sender Ultraschall ausgesendet, im Körper unterschiedlich reflektiert und von einem Empfänger wieder aufgenommen.

Bei der Entwicklung dieses Verfahrens mussten u. a. die biologischen Wirkungen von Ultraschall berücksichtigt werden.

Für spezielle Herzuntersuchungen nutzt man Herzkatheter.







Ein Herzkatheter ist ein dünner Schlauch aus Kunststoff, der durch eine Arterie bis zum Herzen vorgeschoben wird. Durch Einspritzen eines Kontrastmittels werden Verengungen in den Herzkranzgefäßen sichtbar.

Zur Entwicklung und Anwendung sind Erkenntnisse über physikalische, chemische und biologische Eigenschaften und Wirkungen von Katheter und Kontrastmittel notwendig.



1.1.3 Die Teilgebiete der Physik

Traditionell wird die Physik in verschiedene Teilgebiete eingeteilt.

Teilgebiet	Untersuchungsgegenstand	Beispiel
Mechanik	Bewegung von Körpern, Kräfte und ihre Wirkungen, Auftrieb und Schwimmen, Fliegen, Entstehung und Eigenschaften von Schall	
Wärmelehre (Thermodynamik)	Temperatur von Körpern, Zufuhr und Abgabe von Wärme, Aggregatzustände und ihre Änderungen, Wärmeübertragung, Wärmekraftmaschinen	
Elektrizitätslehre (Elektrik)	Eigenschaften von elektrisch geladenen Körpern, Magnetismus, Wirkungen des elektrischen Stromes, Erzeugung und Umformung von Elektroenergie, elektrische Schaltungen und Bauelemente	
Optik	Ausbreitung des Lichtes, Reflexion und Brechung, Bildentstehung an Spiegeln und Linsen, optische Geräte, Farben	
Atom- und Kernphysik	Aufbau von Atomen, Umwandlung von Atomkernen, Eigenschaften radioaktiver Strahlung, Erzeugung von Kernenergie	
Energie	Energieformen, Energieträger, Umwandlung und Übertragung von Energie, Entwertung von Energie, Energietechnik und Umwelt	

Physics vs technology

1.1.4 Physik, Technik und Alltag

Die Physik ist auch eine wichtige **Grundlage der Technik**. Dabei werden bewusst physikalische Erkenntnisse genutzt, um Geräte und Anlagen zu bauen, um Energie zweckmäßig zu verwenden, um unser Leben sicherer und angenehmer zu machen.

Wenn du den Lichtschalter betätigst, dann leuchtet die Deckenbeleuchtung im Zimmer auf. Die elektrische Energie wird in Licht und auch in Wärme umgewandelt.



Elektrische Energie wird aber auch für viele andere Zwecke genutzt. Physikalische Erkenntnisse der Elektrizitätslehre haben dies ermöglicht und das Leben der Menschen wesentlich verändert.

Die Physik ist eine wichtige Grundlage der Technik. In der Technik werden physikalische Gesetze vom Menschen genutzt.

Physikalische Erkenntnisse spielen auch in **unserem täglichen Leben** eine wichtige Rolle. Die bewusste Nutzung physikalischer Erkenntnisse erleichtert unser Leben und erhöht unsere Sicherheit. Unkenntnis oder Nichtbeachtung kann zu Unfällen oder Schäden führen.

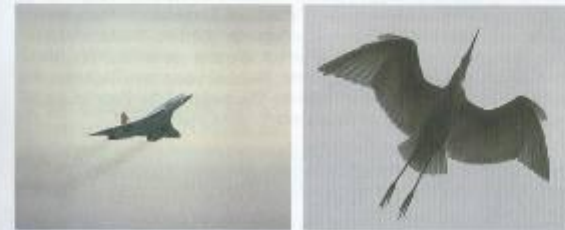
Wenn man z. B. in einem anfahrenenden oder bremsenden Bus steht, muss man sich festhalten, um nicht umzufallen.

Nach dem Baden sollte man die nasse Badebekleidung wechseln, weil man sich sonst leicht erkälten kann. An einem heißen Sommertag trägt man in der Regel leichte und helle Kleidung, um keinen Hitzschlag zu bekommen. Ein Autofahrer weiß, dass sein Bremsweg bei eisglatter Fahrbahn wesentlich größer ist als auf trockener Straße, und erhöht den Sicherheitsabstand. Lärm ist ein Stressfaktor und kann zu Gehörschäden führen. Deshalb sollte man sich mit geeigneten Maßnahmen vor Lärm schützen. Wenn man Schwierigkeiten beim Sehen hat, geht man zum Augenarzt bzw. Optiker und lässt sich eine Brille anfertigen.

In allen diesen Beispielen nutzen wir – bewusst oder unbewusst – physikalische Erkenntnisse.

Die Physik ist eine wichtige Grundlage unseres täglichen Lebens. Die bewusste Nutzung physikalischer Gesetze erleichtert unser Leben und erhöht unsere Sicherheit. Unkenntnis oder Nichtbeachtung physikalischer Gesetze können zu Unfällen oder Schäden führen.

Bei technischen Anwendungen arbeiten häufig Naturwissenschaftler verschiedener Disziplinen zusammen. Oft ist die Natur selbst Vorbild für technische Lösungen.



Im Flugzeugbau wurden und werden viele technische Lösungen dem Vogelflug „abgeguckt“.



Der Wulstbug eines Schiffes hat sein Vorbild bei einem Delfin.

Der Mensch ist heute mithilfe der Technik in der Lage, sein Leben nicht nur sicherer und angenehmer zu machen. Er kann auch große Veränderungen in seiner natürlichen Umwelt herbeiführen.

Diese gewaltigen Eingriffe in die Natur können die Lebensbedingungen von Pflanzen, Tieren und Menschen auf der Erde erheblich beeinflussen, ja sogar Lebensgrundlagen zerstören.

Deshalb ist es wichtig, dass bei der Lösung technischer Probleme und bei größeren Eingriffen in unsere natürliche Umwelt stets alle Naturwissenschaften zusammenwirken, um negative Auswirkungen auf die Lebensbedingungen von Pflanzen, Tieren und Menschen zu verhindern und unsere natürliche Umwelt zu erhalten.

Physical quantities

In der Wissenschaft, so auch in der Physik, bedient man sich in der Regel der Fachsprache.

Fachbegriffe knüpfen oft an Alltagsbegriffe an, werden aber dann exakt definiert und schränken meist die Anwendbarkeit des Begriffs ein. Deshalb muss man bei der Anwendung von Begriffen stets beachten, ob es sich um naturwissenschaftliche Fachbegriffe oder um Alltagsbegriffe handelt.

Manchmal wird ein Wort für verschiedene Begriffe benutzt.

In der Physik versteht man unter **Feld** den Zustand eines Raumes um einen Körper, in dem auf andere Körper Kräfte wirken. In der Biologie ist ein Feld eine Ackerfläche, auf der Kulturpflanzen angebaut werden.

Eine **Welle** ist in der Physik eine zeitlich und räumlich periodische Änderung einer physikalischen Größe. In der Technik versteht man darunter einen Teil einer Maschine, mit dessen Hilfe Kräfte bzw. Drehmomente übertragen werden.

Zum Teil werden für ein und denselben Begriff auch verschiedene Wörter benutzt.

Man bezeichnet das Messgerät für die elektrische Stromstärke als Stromstärkemesser, Strommesser oder Amperemeter.

Die Dauer einer vollen Schwingung wird als Schwingungsdauer oder als Periodendauer bezeichnet.

Größen in der Physik

Einen Teil naturwissenschaftlicher Fachbegriffe bezeichnet man als **Größen**. Dabei handelt es sich um Begriffe zur Beschreibung messbarer Eigenschaften von Objekten (Körper, Stoffe, Vorgänge usw.).

Eine Größe beschreibt eine messbare Eigenschaft von Objekten.

Die **Bedeutung einer Größe** gibt an, welche Eigenschaft der Objekte beschrieben wird. Für ein konkretes Objekt kann der Ausprägungsgrad dieser Eigenschaft gemessen und angegeben werden. Man nennt diesen Ausprägungsgrad auch **Wert einer Größe**.

Das **Volumen** gibt an, wie viel Raum ein Körper einnimmt. Die **Masse** gibt an, wie schwer oder wie leicht und wie träge ein Körper ist.

Die **Geschwindigkeit** gibt an, wie schnell sich ein Körper bewegt.

Um den Wert einer Größe anzugeben, muss eine **Einheit** festgelegt sein. Der Wert der Größe ist dann das Produkt aus Zahlenwert und Einheit, wobei man den Malpunkt weglässt.

5 m³ bedeutet 5 · 1 m³
10 l bedeutet 10 · 1 l

Für jede Größe ist ein **Formelzeichen** (manchmal auch mehrere) als Abkürzung festgelegt (§ 5.22–25). Mithilfe von Formelzeichen kann man naturwissenschaftliche Gesetze schneller und einfacher in mathematischer Form formulieren und anwenden.

Bei zusammengesetzten Einheiten wird zwischen den Einheiten meist ein Malpunkt gesetzt, z. B. bei der Einheit Newtonmeter für die mechanische Arbeit: N · m. Zulässig ist auch die Schreibweise Nm.

Größe	Temperatur	Dichte
Formelzeichen	ϑ oder T	ρ
Bedeutung	Die Temperatur gibt an, wie warm oder wie kalt ein Körper ist.	Die Dichte gibt an, welche Masse ein Kubikzentimeter eines Stoffes hat.
Einheiten	1 Grad Celsius (1 °C) 1 Kelvin (1 K) 1 Grad Fahrenheit (1 °F)	1 Gramm je Kubikzentimeter (1 $\frac{\text{g}}{\text{cm}^3}$)
Messgerät	Thermometer	Aräometer
Berechnung	–	$\rho = \frac{m}{V}$

Es gibt zwei Arten von Größen. Einige Größen sind von der Richtung unabhängig. Die messbare Eigenschaft hat nur einen Betrag. Man nennt diese Größen auch **skalare Größen**.

Temperatur, Masse und Dichte sind z. B. skalare Größen.

Andere Größen sind von der Richtung abhängig. Die messbare Eigenschaft hat neben dem Betrag auch eine Richtung. Solche Größen nennt man **gerichtete** oder **vektorielle Größen**. Man kennzeichnet sie mit einem Pfeil über dem Formelzeichen.

Beispiele für vektorielle Größen sind die Geschwindigkeit \vec{v} und die Kraft \vec{F} .

Bei der **Addition von Größen** muss man beachten, ob es sich um skalare oder vektorielle Größen handelt.

Bei skalaren Größen kann man die Beträge der Größen addieren.

Eine Masse $m_1 = 100$ g Mehl und $m_2 = 50$ g Zucker werden zusammengeschüttet. Die Gesamtmasse des Gemisches beträgt $m = m_1 + m_2 = 150$ g.

Bei der Addition vektorieller Größen sind die Richtungen der einzelnen Größen zu beachten.

Ein Schlitten wird von zwei Kindern mit den beiden Kräften $F_1 = 100$ N und $F_2 = 100$ N in unterschiedlicher Richtung gezogen. Die resultierende Gesamtkraft ergibt sich aus einem maßstäblichen Kräfteparallelogramm.



Für eine Reihe von Anwendungen genügt es, auch bei vektoriellen Größen nur mit den Beträgen (z. B. $|\vec{F}|$ bzw. F) zu rechnen, z. B. wenn verschiedene vektorielle Größen dieselbe Richtung haben.

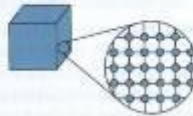
Dieses Verfahren nennt man auch **Superpositionsprinzip** vektorieller Größen.

Atomic structure of matter

Mit materiellen Modellen kann man auch experimentieren. Mit solchen Modellexperimenten kann man innerhalb der Gültigkeitsgrenzen des jeweiligen Modells Erklärungen bestätigen und Voraussagen treffen.

Das Teilchenmodell beinhaltet folgende Aussagen:

1. Alle Stoffe bestehen aus Teilchen.
2. Die Teilchen befinden sich in ständiger Bewegung.
3. Zwischen den Teilchen wirken Kräfte.



Ein solches ideelles Modell kann auch materiell umgesetzt werden. So kann man sich das Teilchenmodell z. B. als kleine Kugeln vorstellen, die durch Federn miteinander verbunden sind.

Noch stärker vereinfacht lässt es sich durch kleine Teilchen (Murmeln, Erbsen, Reiskörner) darstellen. Dabei bleiben die Kräfte zwischen den Teilchen und die Bewegung der Teilchen unberücksichtigt.

Mit dem Teilchenmodell lässt sich z. B. folgende Erscheinung erklären: Mischt man 50 ml Alkohol und 50 ml Wasser, so erhält man nicht 100 ml, sondern nur 96 ml Flüssigkeitsgemisch. Der Grund liegt in der unterschiedlichen Größe der Alkohol- und Wasserteilchen.



In einem Modellexperiment mit Erbsen und Reiskörnern kann man dies bestätigen. Mischt man die Erbsen und die Reiskörner, so ist das Volumen des Gemisches kleiner als die Summe der beiden Ausgangsvolumen. Der Grund liegt in der unterschiedlichen Größe der Teilchen.



Für einen bestimmten Teilbereich der Physik gibt es verschiedene Gesetze sowie unterschiedliche Modelle und Aussagen.

Ein System von Gesetzen, Modellen und Aussagen über einen Teilbereich der Physik bezeichnet man als **Theorie**.

Ein Beispiel für eine geschlossene physikalische Theorie ist die newtonsche Mechanik, in der das Verhalten von Körpern unter dem Einfluss von Kräften erfasst wird.

1.2.3 Erkenntniswege in der Physik

Das Erkennen physikalischer Gesetze

Das Erkennen und Anwenden von Gesetzen in Naturwissenschaft und Technik ist ein äußerst komplexer und in der Regel langwieriger Prozess. Wichtige Naturgesetze und deren Gültigkeitsbedingungen sind in langen, wechselvollen historischen Prozessen entdeckt worden. Diese Prozesse waren oft von Irrtümern und Irrwegen begleitet.

Auch heute ist das Erkennen von Naturgesetzen trotz modernster Experimentier- und Computertechnik ein komplizierter Prozess, bei dem meistens ganze Gruppen von Wissenschaftlern in aller Welt zusammenarbeiten.

Unabhängig vom komplizierten, wechselvollen Weg mit Irrtümern und Irrwegen gibt es immer wieder bestimmte Etappen, die in der Wissenschaft durchschritten werden müssen, um neue Gesetze in der Natur zu erkennen. An einem Beispiel aus der Geschichte der Physik soll dies vereinfacht dargestellt werden.

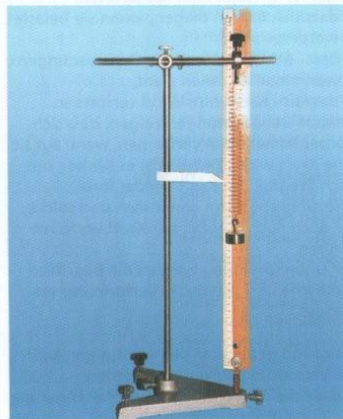


Weg der Erkenntnis neuer Gesetze in der Natur	Ein Beispiel aus der Physik
<p>1. In der Natur gibt es interessante, z. T. auffällige Erscheinungen, die beobachtet werden. Diese Erscheinungen veranlassen zur genauen Beobachtung. Durch Vergleichen wird versucht, Gemeinsamkeiten, Unterschiede und Regelmäßigkeiten in den Erscheinungen zu erkennen. Erscheinungen werden klassifiziert, d.h., Körper, Stoffe und Vorgänge mit gemeinsamen Eigenschaften werden zusammengefasst und beschrieben.</p> <p>Begriffe werden definiert und Größen eingeführt.</p> <p>Im Ergebnis dieser Etappe können Vermutungen aufgestellt werden,</p> <ul style="list-style-type: none"> - welche Zusammenhänge in den Erscheinungen wirken und - unter welchen Bedingungen diese auftreten. <p>Es werden Fragen gestellt, die es genauer zu untersuchen gilt.</p>	<p>In der Natur kann man beobachten,</p> <ul style="list-style-type: none"> - dass sich Balken biegen, wenn sie belastet werden, - dass sich Seile und Drähte verlängern, wenn man an ihnen zieht, - dass sich Bäume im Wind verformen. <p>Genauere Beobachtungen zeigen, dass sich Körper immer dann verformen, wenn auf sie eine Kraft wirkt. Dabei gibt es Körper, die nach Wegfall der Kraft wieder ihre ursprüngliche Form annehmen und solche, die auch nach Wegfall der Kraft verformt bleiben.</p> <p>Zur Unterscheidung werden die Begriffe elastische und plastische Verformung verwendet.</p> <p>Aufgrund genauerer Beobachtungen kann die Vermutung aufgestellt werden,</p> <ul style="list-style-type: none"> - dass die Verformung bzw. Verlängerung eines Körpers umso größer ist, je größer die einwirkende Kraft ist, - dass dieser Zusammenhang bei allen elastisch verformten Körpern gilt. <p>Welcher Zusammenhang existiert zwischen der Verformung bzw. Verlängerung eines elastischen Körpers und der einwirkenden Kraft?</p>

Measurement and interpretation

2. Um die Vermutungen zu prüfen und die Fragen zu beantworten, werden die Erscheinungen noch genauer untersucht. Dazu führt man in der Regel **Experimente** an einer Reihe von einzelnen Objekten durch, um die vermuteten Zusammenhänge exakter zu erfassen und die Wirkungsbedingungen besser zu erkennen. Vorher werden **experimentelle Fragen** gestellt. Es werden Messwerte aufgenommen und mit mathematischen Mitteln ausgewertet (grafisch oder rechnerisch).

Häufig wird versucht, den Zusammenhang zwischen den Größen bzw. Eigenschaften von Objekten mit mathematischen Mitteln, z. B. als Diagramm, als Proportionalität oder als Gleichung, zu beschreiben. Dazu werden die Messwertereihen rechnerisch ausgewertet und die Diagramme interpretiert.



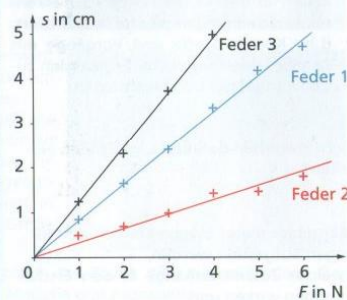
Der Zusammenhang, der zunächst nur an einzelnen Objekten gefunden wurde, wird auf eine ganze Klasse von Objekten **verallgemeinert**. Dabei ist man häufig zunächst auf Vermutungen in Bezug auf die Gültigkeitsbedingungen des Zusammenhangs angewiesen.

In Experimenten an verschiedenen Federn aus unterschiedlichsten Materialien wird folgende **experimentelle Frage** untersucht: Welcher Zusammenhang existiert zwischen der Verlängerung s einer Feder und der an ihr angreifenden Kraft F ?

Feder 1 als Beispiel

F in N	s in cm	$\frac{F}{s}$ in $\frac{N}{cm}$
0	0	-
1	0,8	1,25
2	1,7	1,18
3	2,4	1,25
4	3,3	1,21
5	4,1	1,22
6	4,7	1,28

Analoge Messwertereihen werden für weitere Federn aufgenommen und können grafisch dargestellt werden.



Aus den Messwertereihen und aus den Diagrammen kann man erkennen:

$$s \sim F \quad \text{oder} \quad \frac{F}{s} = \text{konstant} \quad \text{oder} \quad F = D \cdot s$$

Das so vermutlich existierende Gesetz muss vor allem hinsichtlich seiner Gültigkeitsbedingungen weiter überprüft werden. Manchmal erscheint es im Zusammenhang mit dem Erkennen neuer Gesetze sinnvoll, auch neue Begriffe zu **definieren** bzw. **Größen** einzuführen.

Häufig nutzt man beim Aufstellen bzw. Überprüfen von Vermutungen auch **Modelle** (S. 29). Modelle sind zwar Vereinfachungen der Wirklichkeit, sie stimmen aber in wichtigen Eigenschaften mit dem Original überein, in anderen nicht.

3. Das gefundene Gesetz muss **überprüft** werden. Vor allem muss überprüft werden, ob die vorgenommene Verallgemeinerung des Zusammenhangs tatsächlich für die beschriebene Klasse von Objekten gilt.

Mithilfe des Gesetzes werden neue Erscheinungen bzw. Erkenntnisse vorausgesagt und in Experimenten bzw. in der Praxis überprüft.

Das entdeckte Gesetz wird zur **Erklärung** von Erscheinungen der Natur genutzt. Es können mit dem Gesetz Größen berechnet werden, die man in der Praxis überprüfen kann.

Unter Nutzung des Gesetzes kann man technische Geräte konstruieren, z. B. Federkraftmesser.

Jede erfolgreiche Anwendung eines Gesetzes in der Praxis ist ein Beleg für die Gültigkeit des gefundenen Gesetzes unter den gegebenen Bedingungen.

Man verallgemeinert den Zusammenhang zu folgendem **Gesetz**:

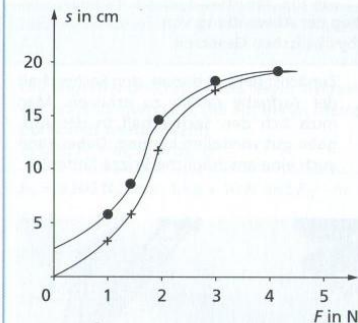
Für alle elastisch verformten Körper gilt unter der Bedingung nicht zu großer Kräfte:

$$F = D \cdot s$$

Man hat festgestellt, dass bei zu großen Kräften zunächst elastisch verformte Körper dann plastisch verformt werden und das Gesetz nicht mehr gilt.

Der Faktor D im gefundenen Gesetz erhält den Namen „Federkonstante“ und wird als neue **Größe** eingeführt. Die Federkonstante ist ein Maß für die Härte einer Feder.

Mithilfe des gefundenen Gesetzes wird vorausgesagt, dass auch für die Verlängerung eines Gummibandes $s \sim F$ gilt. In Experimenten kann man jedoch folgende Messwerte aufnehmen und grafisch darstellen:



Für ein Gummiband gilt das oben gefundene Gesetz nicht. Das Gummiband wird auch nicht vollständig elastisch verformt. Die Gültigkeit des gefundenen Gesetzes muss also für Gummibänder ausgeschlossen werden.


Reality → model → mathematical description → solution → interpretation → reality

34 Die Physik – eine Naturwissenschaft
Denk- und Arbeitsweisen in der Physik 35

32 Die Physik – eine Naturwissenschaft

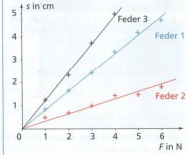
2. Um die Vermutungen zu prüfen und die Fragen zu beantworten, werden die Erscheinungen noch genauer untersucht. Dazu führt man in der Regel Experimente an einer Reihe von einzelnen Objekten durch, um die vermuteten Zusammenhänge exakter zu erfassen und die Wirkungsbedingungen besser zu erkennen. Vorher werden experimentelle Fragen gestellt. Es werden Messwerte aufgenommen und mit mathematischen Mitteln ausgewertet (grafisch oder rechnerisch).

Häufig wird versucht, den Zusammenhang zwischen den Größen bzw. Eigenschaften von Objekten mit mathematischen Mitteln, z. B. als Diagramm, als Proportionalität oder als Gleichung, zu beschreiben. Dazu werden die Messwertreihen rechnerisch ausgewertet und die Diagramme interpretiert.



Analoge Messwertreihen werden für weitere Federn aufgenommen und können grafisch dargestellt werden.

F in N	s in cm	F in N	s in cm
0	0	–	–
1	0,8	1,25	–
2	1,7	1,18	–
3	2,4	1,25	–
4	3,3	1,21	–
5	4,1	1,22	–
6	4,7	1,28	–



Der Zusammenhang, der zunächst nur an einzelnen Objekten gefunden wurde, wird auf eine ganze Klasse von Objekten verallgemeinert. Dabei ist man häufig zunächst auf Vermutungen in Bezug auf die Gültigkeitsbedingungen des Zusammenhangs angewiesen.

Aus den Messwertreihen und aus den Diagrammen kann man erkennen:

$s \sim F$ oder $F \sim s$

$\frac{s}{F} = \text{konstant}$ oder $F = D \cdot s$

In Experimenten an verschiedenen Federn aus unterschiedlichen Materialien wird folgende experimentelle Frage untersucht: Welcher Zusammenhang existiert zwischen der Verlängerung s einer Feder und der an ihr angelegten Kraft F ?

Feder 1 als Beispiel

Häufig nutzt man beim Aufstellen bzw. Überprüfen von Vermutungen auch Modelle (S. 29). Modelle sind zwar Vereinfachungen der Wirklichkeit, sie stimmen aber in wichtigen Eigenschaften mit dem Original überein, in anderen nicht.

3. Das gefundene Gesetz muss überprüft werden. Vor allem muss überprüft werden, ob die vorgenommene Verallgemeinerung des Zusammenhangs tatsächlich für die beschriebene Klasse von Objekten gilt.

Mithilfe des Gesetzes werden neue Erscheinungen bzw. Erkenntnisse vorausgesagt und in Experimenten bzw. in der Praxis überprüft.

Das entdeckte Gesetz wird zur Erklärung von Erscheinungen der Natur genutzt. Es können mit dem Gesetz Größen berechnet werden, die man in der Praxis überprüfen kann.

Unter Nutzung des Gesetzes kann man technische Geräte konstruieren, z. B. Federkraftmesser.

Jede erfolgreiche Anwendung eines Gesetzes in der Praxis ist ein Beleg für die Gültigkeit des gefundenen Gesetzes unter den gegebenen Bedingungen.

Man verallgemeinert den Zusammenhang zu folgendem Gesetz:

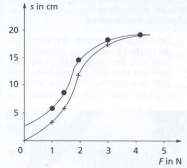
Für alle elastisch verformten Körper gilt unter der Bedingung nicht zu großer Kräfte:

$$F = D \cdot s$$

Man hat festgestellt, dass bei zu großen Kräften zunächst elastisch verformte Körper dann plastisch verformt werden und das Gesetz nicht mehr gilt.

Der Faktor D im gefundenen Gesetz erhält den Namen „Federkonstante“ und wird als neue Größe eingeführt. Die Federkonstante ist ein Maß für die Härte einer Feder.

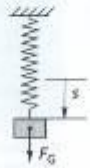
Mithilfe des gefundenen Gesetzes wird vorausgesagt, dass auch für die Verlängerung eines Gummibandes $s \sim F$ gilt. In Experimenten kann man jedoch folgende Messwerte aufnehmen und grafisch darstellen:



Für ein Gummiband gilt das oben gefundene Gesetz nicht. Das Gummiband wird auch nicht vollständig elastisch verformt. Die Gültigkeit des gefundenen Gesetzes muss also für Gummibänder ausgeschlossen werden.

Der Sachverhalt der Aufgabe wird aus physikalischer Sicht vereinfacht. Unwesentliches wird weggelassen. Wesentliche Seiten werden mit Fachbegriffen beschrieben.

Sachverhalt der Aufgabe kann eine vereinfachte, schematisierte Skizze angefertigt werden.



Gesucht: s
Gegeben: $m = 850 \text{ kg}$
 $D = 3\,200 \frac{\text{N}}{\text{cm}}$

Wesentliche Seiten des Sachverhalts der Aufgabe werden mit physikalischen Gesetzen beschrieben. Dazu muss man getzelmäßig wirkende Zusammenhänge und Bedingungen für das Wirken bekannter physikalischer Gesetze im Sachverhalt erkennen.

Lösung:
Unter der Bedingung, dass sich das Kranseil ausschließlich elastisch verformt, gilt das Hookesche Gesetz:
 $F = D \cdot s$


Die angreifende Kraft ist die Gewichtskraft der angehängten Last, die aus deren Masse berechnet werden kann.
Es gilt: $F_G = m \cdot g$

Die physikalischen Gesetze werden angewendet um die Aufgabe zu lösen, z. B. eine gesuchte Größe zu berechnen, eine Erscheinung zu erklären oder vorauszusagen. Dazu kann man verschiedene Mittel und Verfahren nutzen, z. B.

- das inhaltlich-logische Schließen,
- Verfahren und Regeln der Gleichungslehre,
- grafische Mittel,
- geometrische Konstruktionen,
- experimentelle Mittel.

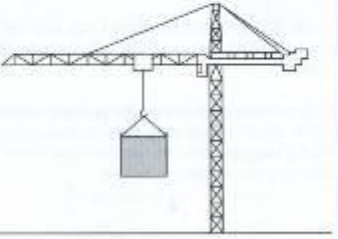
Ergebnis:
Unter der Bedingung, dass sich ein Kranseil elastisch verformt, wird es beim Anhängen und Heben einer Last von 850 kg um 27 mm verlängert.

1. Zunächst geht es darum, den Sachverhalt der Aufgabe genau zu erfassen. Man muss sich den Sachverhalt in der Aufgabe gut vorstellen können. Dabei kann auch eine anschauliche Skizze helfen.



Aufgabe: An einen Kranhaken wird eine Last der Masse 850 kg angehängt und angehoben. Um welche Länge wird das Seil des Kranes gedehnt, wenn seine „Federkonstante“ 3 200 N/cm beträgt?

Analyse:



P. Hewitt „Physics around us”

Rozdział 11: Ciężka stala 205

Sklepienia łukowe

Pojedynczy kamień łatwiej pęka przy rozciąganiu niż ściskaniu. Dachy kamiennych budowli wzniesionych przez starożytnych Egipcjan w czasach budowy piramid złożone są z wielu poziomych warstw bloków skalnych. Warstwy te są mało wytrzymałe na naprężenia związane z ich własnym ciężarem i dlatego są one podparte wieloma kolumnami. Podobnie budowano świątynie w starożytnej Grecji. Dopiero później pojawiły się sklepienia łukowe, dzięki którym liczba kolumn znacznie zmalała.



Rys. 11.11. Typowe półkoliste łuki z kamienia, które przetrwały wieki



Rys. 11.12. Poziome bloki kamienne na sklepieniach nie mogą być zbyt długie, gdyż kamienie brzo pękają przy obciążeniu. Dlatego takie dachy są podparte wieloma kolumnami

Spójrzmy na okna w starych budynkach z cegły. Z reguły ich wierzchołki mają kształt łuku. Podobnie zwieńczone są bramy, korytarze, kamienne mosty. Jeśli na takim sklepieniu pojawi się jakiś ciężar, to jego konstrukcja ulegnie wzmocnieniu, a nie osłabieniu. Kamienie są wówczas mocniej dociskane i trzymają się silniej dzięki siłom ściskającym. Jeśli łuk jest odpowiednio ukształtowany, to do jego konstrukcji nie potrzeba nawet cementu. Naturalnym kształtem podpartej obustronnie poziomej jednorodnej belki jest parabola, czyli krzywa, po jakiej porusza się ciało w rzucie ukośnym. Paraboliczny kształt mają wiszące liny podtrzymujące mosty; ramiona tych parabol skierowane są ku górze. Krzywa, która nadaje sklepieniu lekko węższą wytrzymałość, nosi nazwę *krzywej łańcuchowej*. Kształt taki przybiera wisząca swobodnie linka, której końce zamocowane są w dwóch ustalonych punktach. Naprężenie w każdym punkcie linki (łańcucha) działa równoległe do tej linki. Jeśli zatem łuk ma kształt odwróconej krzywej łańcuchowej, to naprężenia wywołane jego własnym ciężarem są wszędzie styczne do łuku, tak jak i napiecia istniejące między poszczególnymi ogniwami łańcucha. Łuk zdobiący miasto St. Louis ma właśnie taki kształt (rys. 11.13).

Jeśli dokonamy obrotu łuku wokół jego osi, to otrzymamy kopułę. Jej ciężar wywołuje naprężenia działające wzdłuż jej powierzchni. Współczesne kopuły, jak np. Astro dome w Houston (USA), przykrywają wielkie powierzchnie bez jakichkolwiek kolumn podpierających. Są kopuły płytke (np. pomnik Jeffersona) i bardzo wysokie (Capitol w USA). A między nimi plasuje się eskimoskie igloo.



Rys. 11.13. Zarówno łuk, jak i liczno wiszący łańcuch, mają kształt krzywej łańcuchowej

P. Hewitt, *Conceptual Physics*, 1967
Wyd. pol. *Fizyka wokół nas*, PWN 2012

Po drugie, nie wszystkie procesy fizyczne są *odwracalne*. Wymieszanie litra wody ciepłej z litrem wody zimnej daje dwa litry wody letniej, ale ponowne ich rozdzielanie nie jest możliwe. Gorąca szklanka herbaty, stygnąc, ogrzewa (choć bardzo niewiele) powietrze w kuchni, ale letnie powietrze z kuchni nie podgrzeje wody w szklance do wrzenia. Wszechświat się rozszerza, a przy tym stygnie i nic nie wskazuje na to, aby miał się ponownie skurczyć.

Po trzecie, także procesy fizyczne mogą powodować przemiany jednej substancji w drugą. Pierwiastek chemiczny radon, radioaktywny gaz szlachetny, powstaje z rozpadu promieniotwórczego innego pierwiastka, polonu, przypominającego chemicznie siarkę. Fizycy pracujący na wielkich akceleratorach potrafią zamienić jeden metal w drugi, np. aluminium w sód, sód z kolei zamienia się (w procesie rozpadu promieniotwórczego) w gaz, zwany neonem itd. Dzięki nauce to, co było niemożliwe, staje się niesłychanie proste. W tym sensie fizyka współczesna urzeczywistnia marzenia średniowiecznych *alchemików*, zamiany jednej substancji w drugą (choć nie zawsze w złoto i bez użycia *kamienia filozoficznego*).



Fot. 1.3. Fizyka zajmuje się procesami. Wytwarzanie prądu elektrycznego w elektrowni geotermicznej, wiatrowej lub w ogniwie słonecznym, to przykłady procesów fizycznych

I wreszcie, po czwarte, zaćmienie Słońca to zjawisko *astronomiczne*, ale pamiętajmy, że ruch Ziemi wynika z prostych praw *fizyki*. Znając te prawa, przewidywanie zaćmienia nie jest już wiedzą tajemną, ale da się wyliczyć na szkolnym kalkulatorze.

Fizyka współpracuje z innymi naukami przyrodniczymi, jak medycyna i biologia. Transport substancji biologicznych przez błony komórki zależy od obecności *jonów*. Wymiana jonów jest też podstawą działania baterijek elektrycznych i ogniw paliwowych, a te urządzenia zaliczamy do obszaru badań fizyki. Z osiągnięć zaawansowanej fizyki, jak widać na zdjęciach poniżej, korzysta współczesna *medycyna*.



Fot. 1.4. Nowoczesne techniki badawcze w medycynie – rezonans magnetyczny, tomografia optyczna oka (UMK), tomografia pozytonowa (Centrum Onkologii w Bydgoszczy) – to wszystkie urządzenia skonstruowane przez fizyków
<http://www.co.bydgoszcz.pl/lecznictwo/diagnostyka/zsklad-medycyny-ukleornej/>
<http://www.medicover.com/pl/pl/hospital/387,18-kameralowy-rezonans-magnetyczny.htm>

G. Karwasz, M. Sadowska, K. Rochowicz
Toruński poręcznik do fizyki, UMK 2010

II (and III) Law of Newton

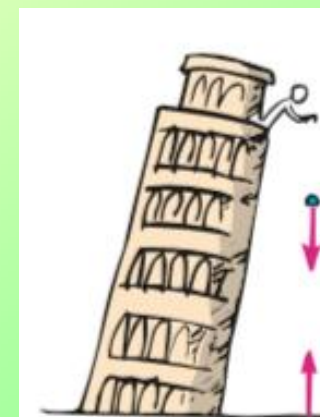


Podczas zderzenia samochodu z ciężarówką siły ich wzajemnego oddziaływania są jednakowe. Czy uszkodzenia są takie same? @ P.G. Hewitt, *Fizyka wśród nas*



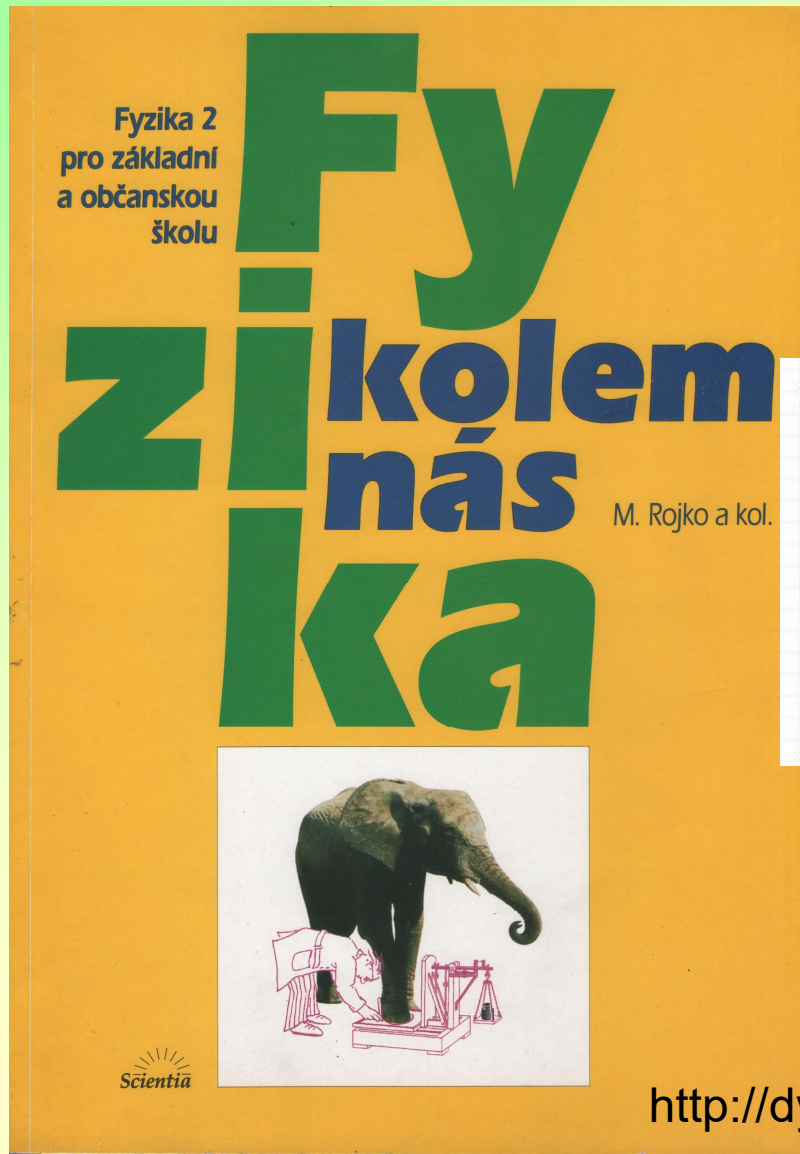
Siła odrzutu armaty jest taka sama jak siła wywierana na pocisk. Dlaczego zatem pocisk ma większe przyspieszenie? @ P.G. Hewitt, *Fizyka wśród nas*

$$m_a = m a$$



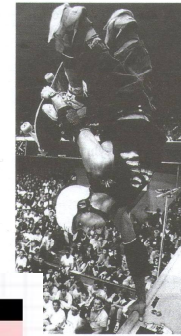
- AKCJA – REAKCJA PRZY różnych MASACH: deskorolki?

Fyzika around us

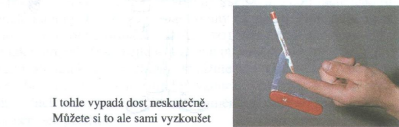
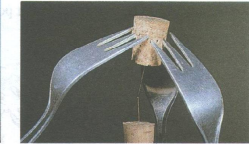


18. Těžiště a rovnováha

Cílové poznatky a dovednosti: Umět najít těžiště předmětu pomocí zavěšování. Předmět se překlopí v okamžiku, kdy se těžiště dostane za svislici procházející překápečí hranou.

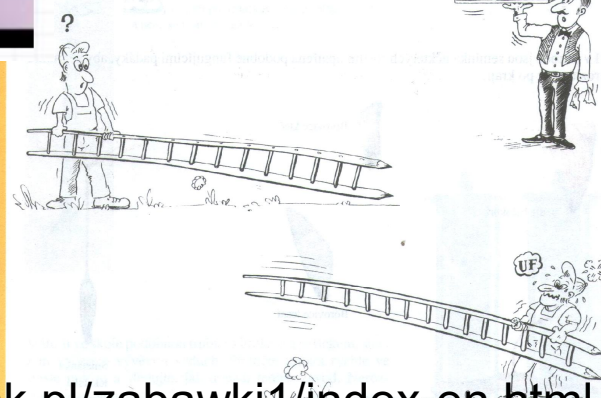


Některé kousky kl



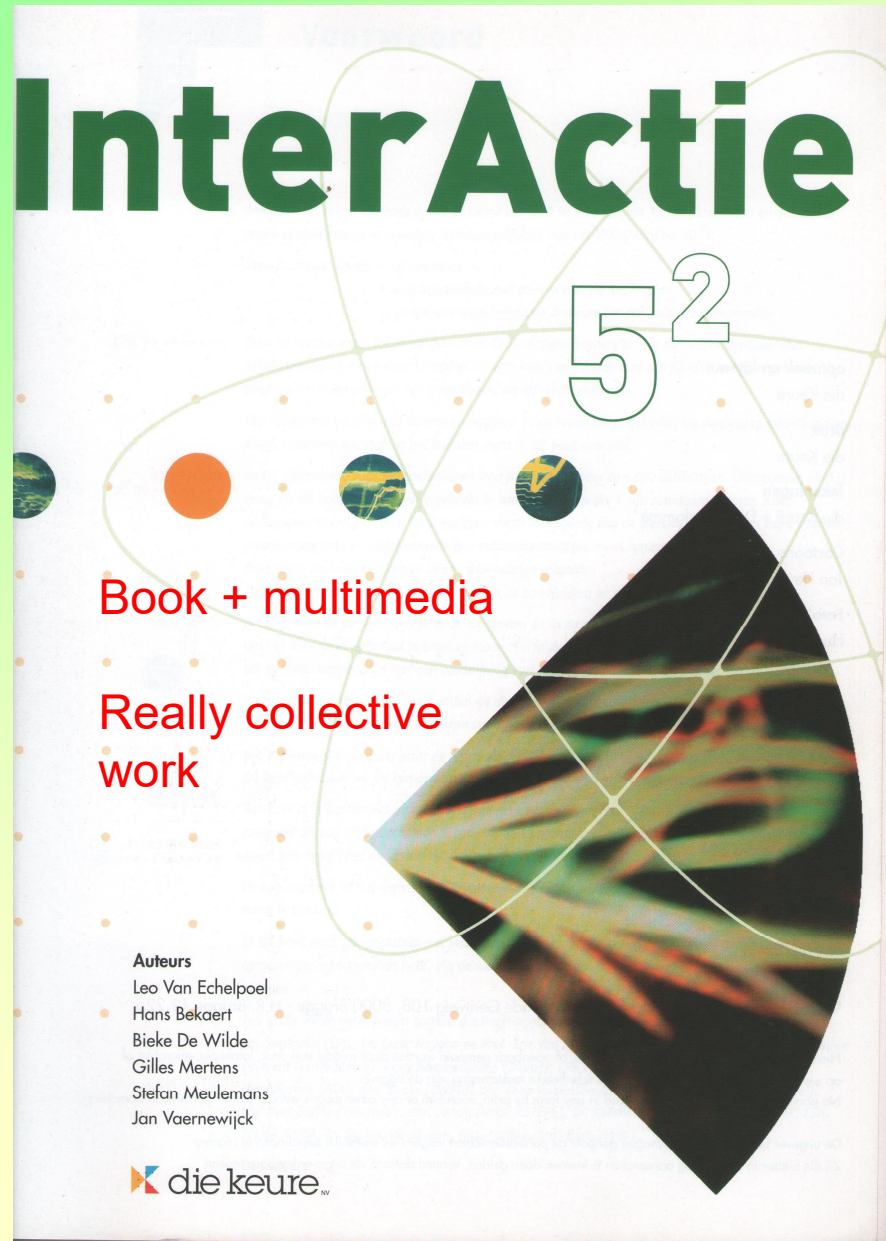
I tohle vypadá dost neskutečně. Můžete si to ale sami vyzkoušet

Kde musí čílník podepřít táb, aby nespadol?

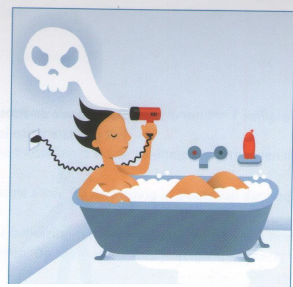


<http://dydaktyka.fyzika.umk.pl/zabawki1/index-en.html>

Interactive Physics (Belgium/ Holland)



8.3 Elektrocutie



DEFINITIE Mep spreekt van **elektrocutie** als er vanuit de omgeving een stroom door je lichaam gaat.

Door elektrocutie kan plaatselijk verbranding ontstaan. Ook inwendig kan verbranding

„social competences”
Does anybody understand it?

cunt loslaten.
van de spieren
in stilvallen en
uren en
ernstige

Het **effect** van de stroom wordt bepaald door 4 factoren: de grootte van de stroom, de duur, de baan van de stroom door het lichaam en de frequentie.

- De grootte van de stroom**

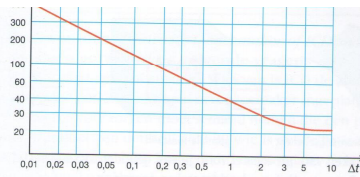
hartsilstand
drempel van onomkeerbare hartfibrillatie
drempel van ademhalingsverlamming
spierverkramping
zwakke gevoeligheid

Een stroom tot 1 mA merk je nauwelijks. Reeds vanaf 10 mA kan spierverkramping optreden. Een stroom van 30 mA kan al fataal zijn.

De grootte van de stroom wordt bepaald door de spanning en de weerstand van het lichaam ($I = U/R$). Hoe groter de spanning, hoe groter de stroom. Een spanning van maximaal 24 V is onschadelijk en noemt men de **veiligheidsspanning**. Bij elektrische systemen zoals halogeenspots of een speelgoed-treintje ... waarbij je de geleiders kunt aanraken, mag de spanning daarom maximaal 24 V zijn.

De weerstand van het menselijk lichaam wordt vooral bepaald door de huidweerstand op de plaats waar de stroom binnenkomt en terug buitengaat. In het lichaam zelf is de weerstand verwaarloosbaar klein, omdat het bestaat uit water (70 %), opgeloste zouten, zenuwen ... De weerstand van de huid is afhankelijk van het contactoppervlak (raken of vastknellen) en van de vochtigheidsgraad.

What is the „dead-line” for AC? GK „Pstryczek: electricity is lethal




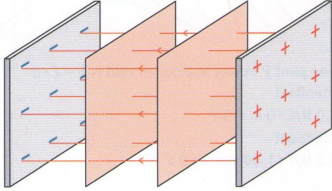
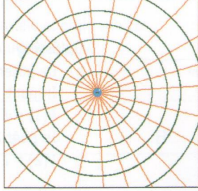
De hoge spanning van ... heeft het aanraken van de draad van een weide geen lelijk effect, omdat dat zeer pulsen zijn met een laag gen.

Interactive Physics (Belgium/ Holland)

3.4 Equipotentiaaloppervlakken

De potentiaal in een punt P van de negatieve plaat ligt lager dan in een punt Q.

Een oppervlak gevormd door punten met dezelfde potentiaal is een equipotentiaaloppervlak. Bij een homogeen veld zijn de equipotentiaaloppervlakken vlakke oppervlakken.

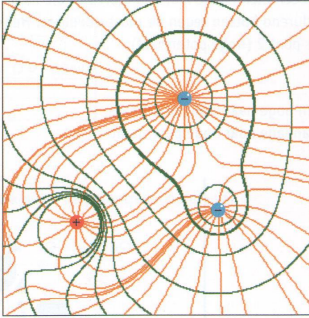
a) radiaal veld

Equipotential surface

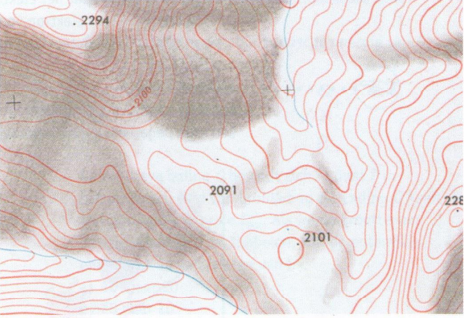
Alle punten die op eenzelfde afstand r van de bronlading liggen, hebben dezelfde potentiaal.

De equipotentiaaloppervlakken zijn dus boloppervlakken die concentrisch rond de bronlading liggen. In een vlak tekenen we equipotentiaallijnen (zie fig. b).

Zowel bij een radiaal veld als bij een homogeen veld staan de veldlijnen loodrecht op de equipotentiaaloppervlakken. Dat geldt ook voor willekeurige velden.



willekeurig veld



Equipotentiaallijnen kun je vergelijken met hoogtelijnen

GK, J, Chojnacka *What is the shape of Earth „ball“*
 Geography in School, 2011; Foton 2011

DEEL 1 ELEKTRICITEIT

184 De elektromagnetische krachtwerking

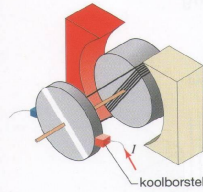
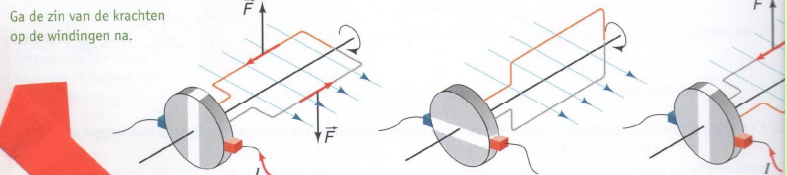
**Does it serve anything?
 No, nothing. Only fun!**

• De gelijkstroommotor


Om toestellen zoals een cassette-recorder, een boormachine, een mixer, een ventilator ... te gebruiken, gebruikt men een elektrische motor. Een veel gebruikt type is de gelijkstroommotor. Ook hier is een spoeltje gewikkeld op een ijzeren kern en draaibaar opgesteld tussen de polen van een permanente magneet.

De uiteinden van de wikkelingen zijn verbonden met twee halve ringen. Twee koolborstels maken contact met deze ringen en geven zo de stroom door aan het spoeltje. Door de Laplacekracht draait het spoeltje rond tot de winding loodrecht op het veld staat. In die positie hebben de koolborstels geen contact meer met de ringen, maar door zijn snelheid draaien de koolborstels verder en maken opnieuw contact, loopt er stroom en draait het spoeltje verder. Dit proces herhaalt zich voortdurend.

Ga de zin van de krachten op de windingen na.

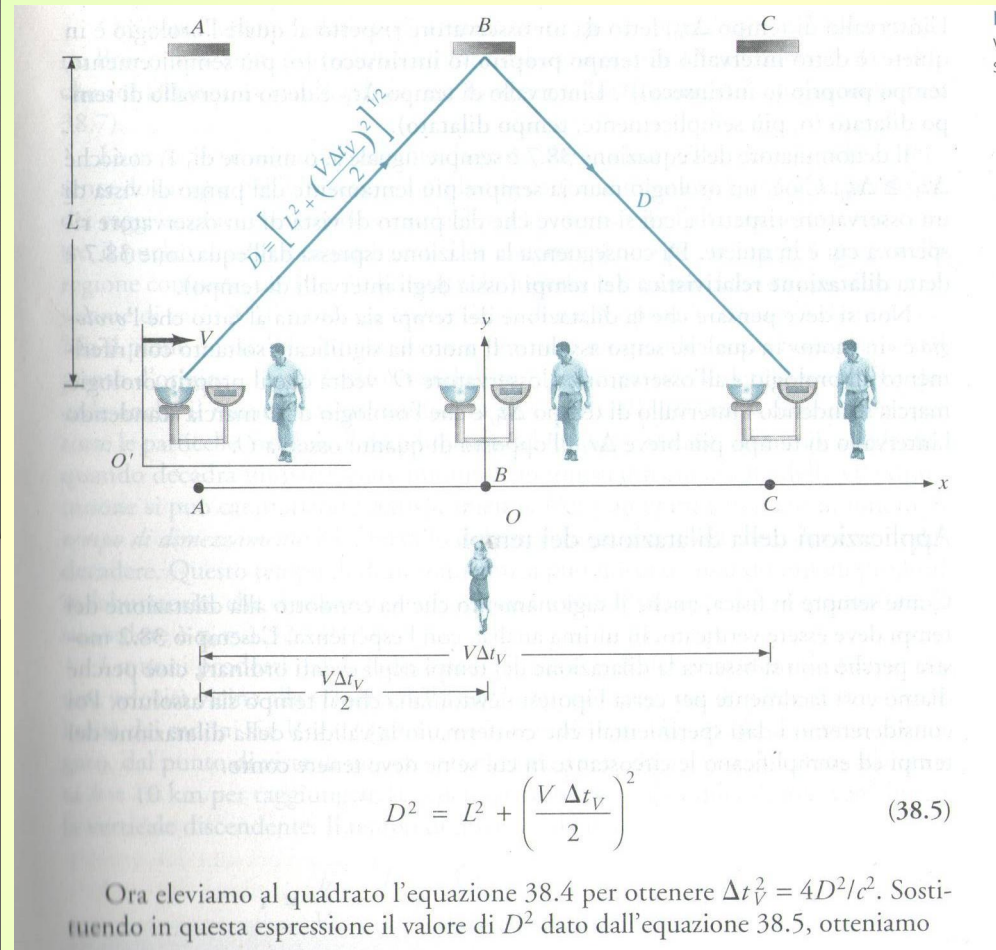
Komensky: tell some funny story
 GK Ludic function in didactics
 Emotional fixing of intellect



Modern Physics



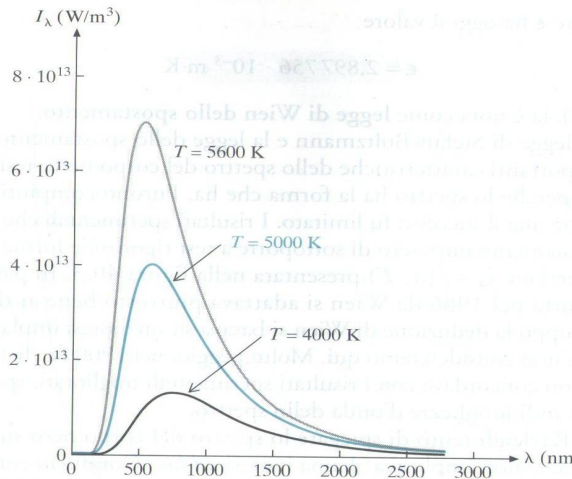
Lawrence Lerner, *Physics for scientists and engineers*, Jones & Balrett, 1996



**Time dilatation: „drop an eye”
(in movement)**

$$I = \sigma T^4$$

Stephan-Boltzmann
Experimental law



$$\lambda_{max} T = \epsilon$$

Wien law
(experimental)

Black body

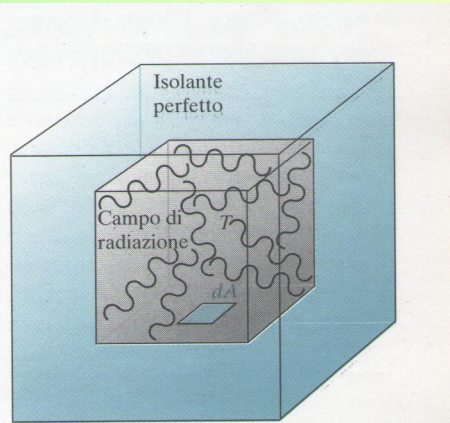
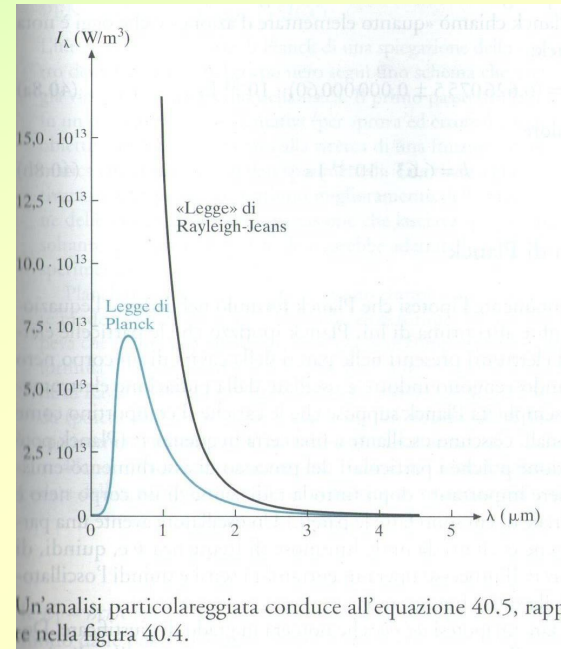
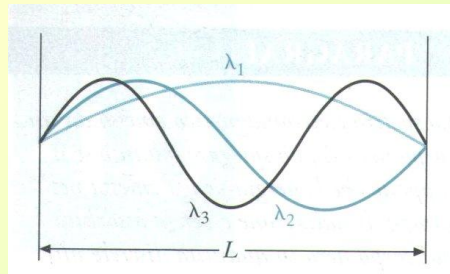


Figura 40.1 Un corpo nero ideale. Il recipiente in cui è stato fatto il vuoto è circondato da un isolante termico perfetto. Le pareti interne sono alla temperatura T . La cavità è piena di radiazione elettromagnetica di varie lunghezze d'onda. In condizione di equilibrio termico ogni quantità di radiazione che esce dalla cavità è compensata dall'entrata di radiazione dalle pareti. Perciò l'intero corpo nero (campo di radiazione e pareti della cavità) è in equilibrio.

Rayleigh-Jeans



Un'analisi particolareggiata conduce all'equazione 40.5, rappresentata graficamente nella figura 40.4.

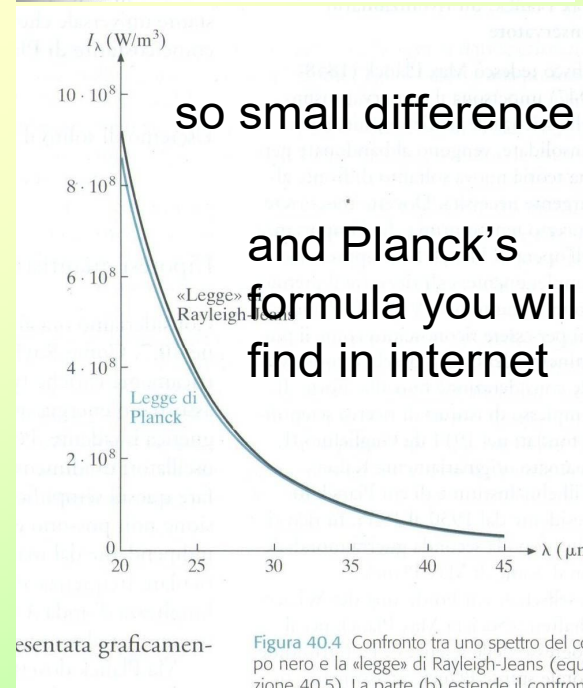
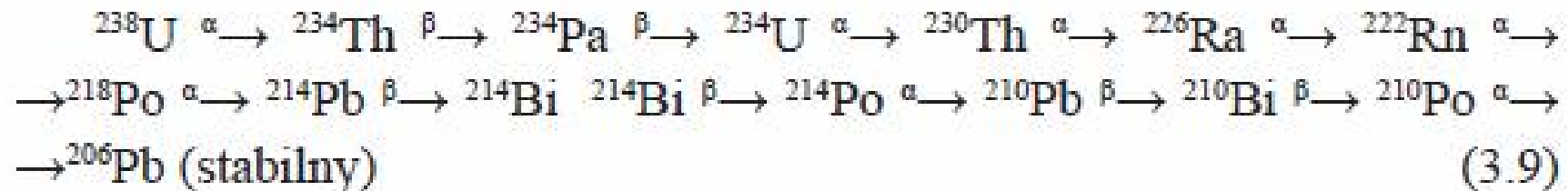


Figura 40.4 Confronto tra uno spettro del corpo nero e la «legge» di Rayleigh-Jeans (equazione 40.5). La parte (b) estende il confronto presentato graficamente nella parte (a).

Nuclear physics

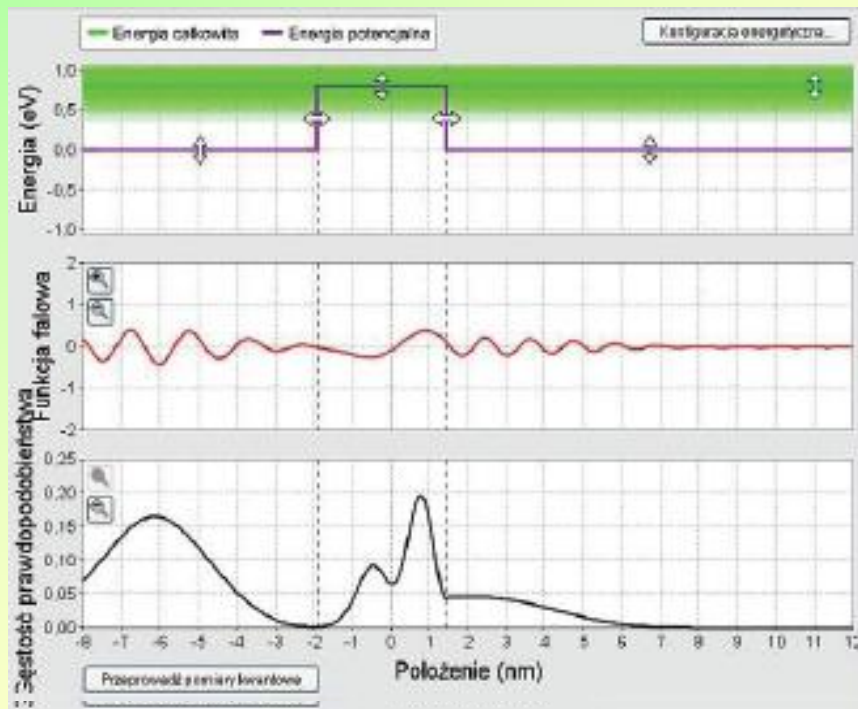
Problem: lifetimes of nuclides change from second to billion years. Why so much?



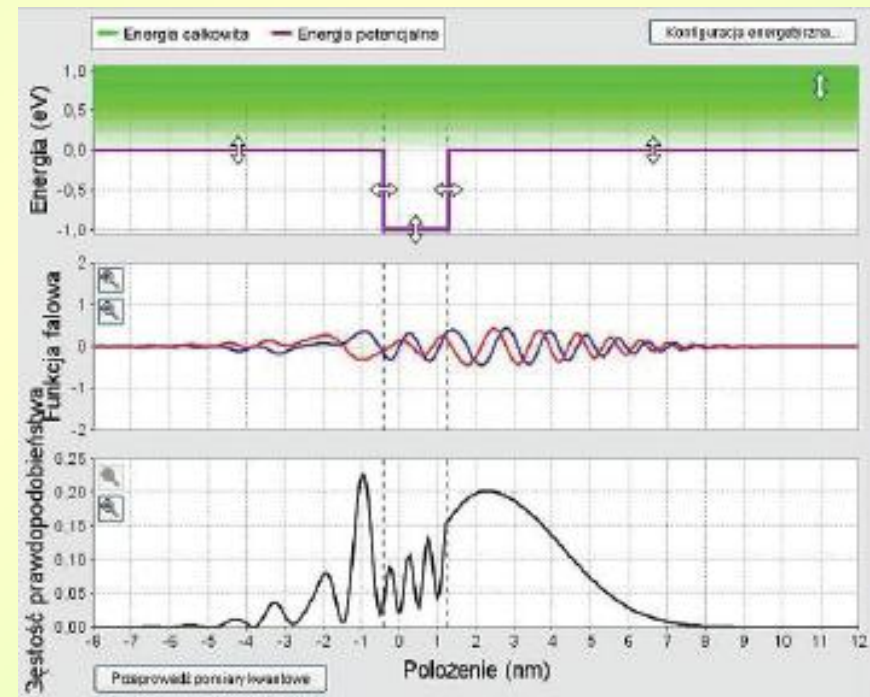
Czasy połowicznego rozpadu dla różnych izotopów mogą bardzo odbiegać od siebie: oprócz czasów „geologicznych”, jak wspomnianych ^{238}U i ^{40}K , izotopy nawet tego samego pierwiastka chemicznego mogą mieć bardzo różne czasy połowicznego rozpadu¹⁶. Wymienione w cyklu rozpadu uranu, ryc. 3.6, produkty przejściowe mają odmienne czasy połowicznego rozpadu: rad $^{226}_{88}\text{Ra}$ – 1600 lat, gaz radon $^{222}_{86}\text{Rn}$ – 3,8 dnia, polon $^{218}_{84}\text{Po}$ – 3 minuty, ołów $^{214}_{82}\text{Pb}$ – 27 minut (ten rozpada się przez proces β); bizmut $^{214}_{83}\text{Bi}$ – 20 minut; w kolejnym rozpadzie β powstaje ponownie polon, ale inny izotop, $^{214}_{84}\text{Po}$, żyjący zaledwie 0,16 milisekundy itd. Spośród różnych izotopów nowego sztucznego pierwiastka o liczbie atomowej $Z = 112$ (czy-

because of Quantum Physics

α -decay is tunneling through a potential barrier



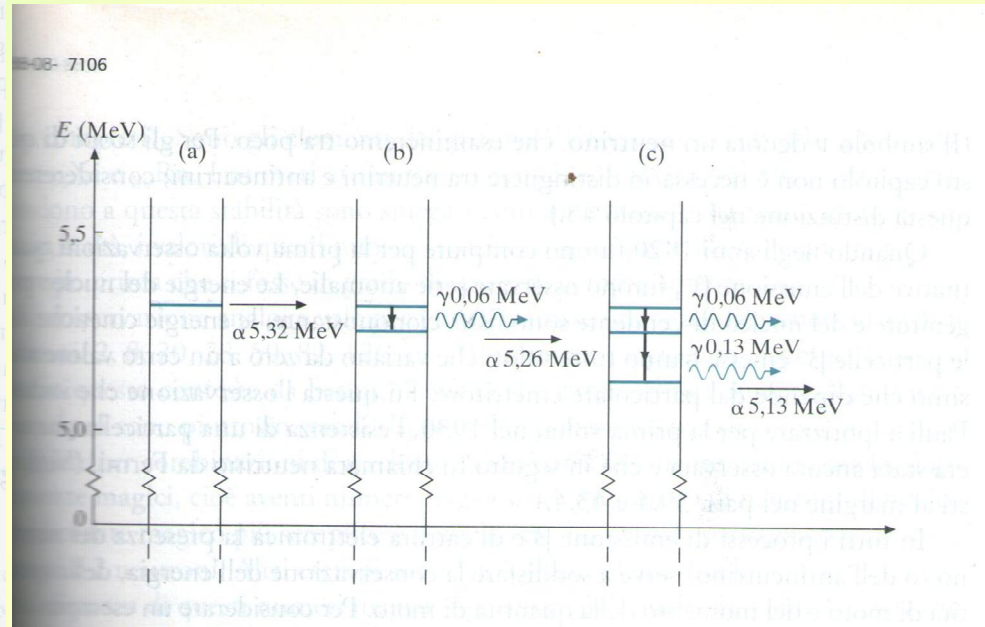
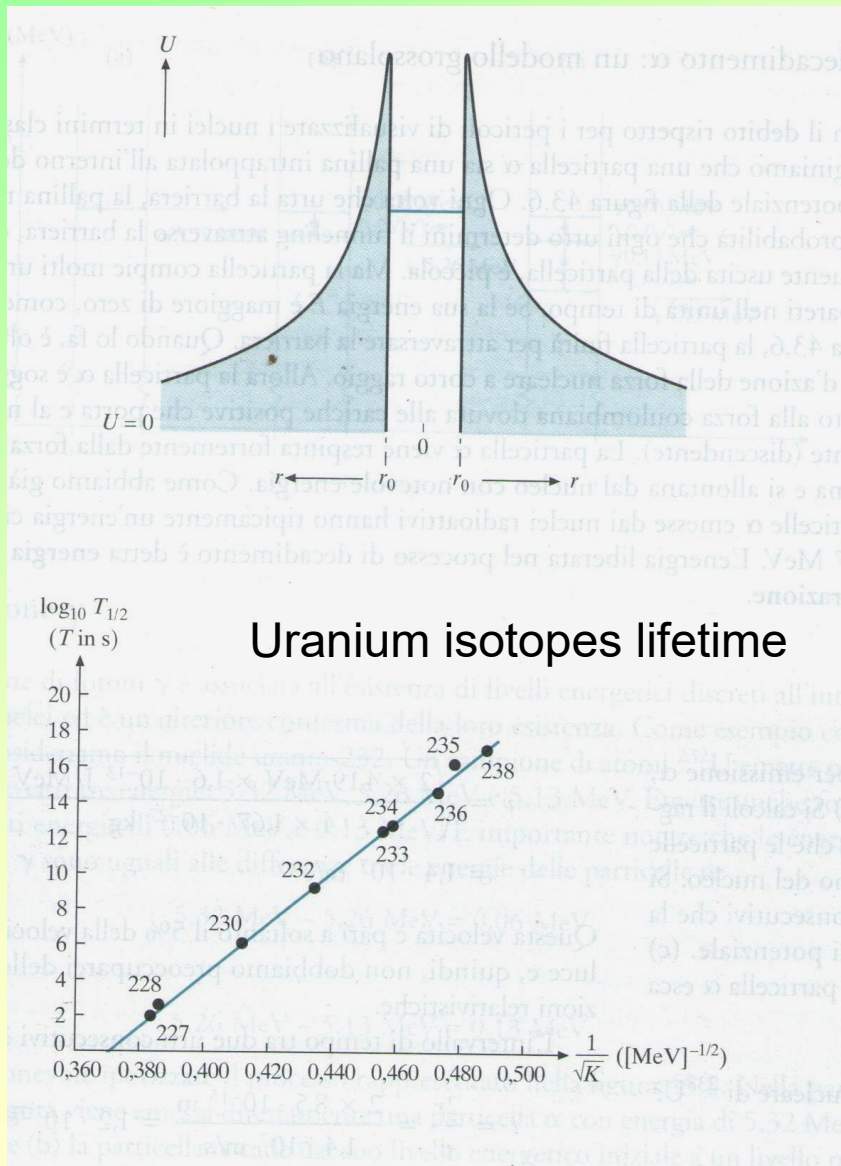
Probability of transmission depends very strongly on barrier's width



By the way, the wave does reflect also from a well

Model: phet.colorado.edu

Look into detail



Uranium ^{238}U decay modes
Note low energy of γ -rays

Also **plutonium** has low γ -energies
But is extremely (chemically) **poisonous**

We may check it in excellent book

- CRC Handbook of Physics and Chemistry: a „Bible” of the researcher

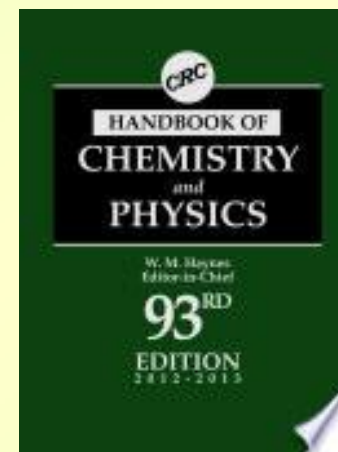


Table of the Isotopes

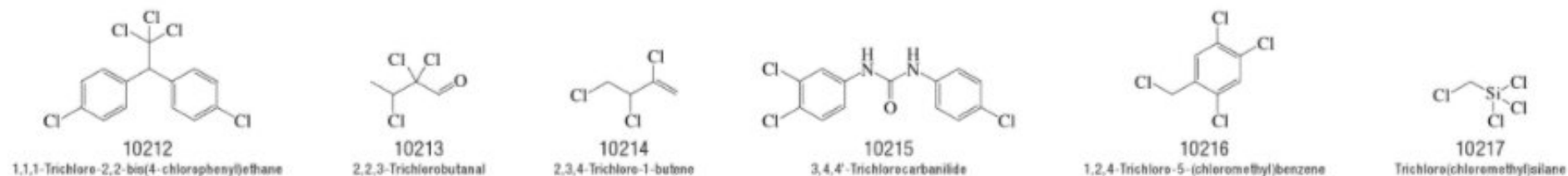
11-5

Elem. or Isot.	Natural Abundance (Atom %)	Atomic Mass or Weight	Half-life/ Resonance Width (MeV)	Decay Mode/ Energy (/MeV)	Particle Energy/ Intensity (MeV/%)	Spin ($\hbar/2\pi$)	Nuclear Magnetic Mom. (nm)	Elect. Quadr. Mom. (b)	γ -Energy/ Intensity (MeV/%)
^{13}N		13.0057386	9.97 m	β^+ /2.2204	1.190/100.	$\frac{1}{2}^-$	0.3222		
^{14}N	99.636(20)	14.003074005			4.27 MeV	1+	+0.403761	+0.02044	
^{15}N	0.364(20)	15.00010898				$\frac{1}{2}^-$	-0.283189		
^{16}N		16.006102	7.13 s	β^- /10.419	4.2 /68.	2-			6.129/68.8
1.2 bln yrs									
^{39}K	93.2581(44)	38.9637067				3/2+	+0.39146	+0.049	
^{40}K	0.0117(1)	39.9639985	1.248 $\times 10^9$ a	β^- /1.3111 β^+ , EC/1.505	1.312/89. 1.50/10.7	4-	-1.29810	-0.074	ann.rad./ 1.4608/10.5
^{41}K	6.7302(44)	40.9618258				3/2+	+0.21487	+0.071	
^{42}K		41.9624028	12.36 h	β^- /3.525	1.97/19.	2-	-1.1425		0.31260(2)/0.3
^{63}Cu	69.15(15)	62.929598				3/2-	+2.2273	-0.211	
^{64}Cu		63.929764	12.701 h	β^- /38.0579 β^+ /9/1.6751	0.578/ 0.65/	1+	-0.217		ann.rad./35.1 1.3459(3)/0.47

Excellent also in chemistry

Physical Constants of Organic Compounds

3-521



Crystallographic Data on Minerals

4-147

Name	Formula	Crystal system	Structure type	Z	a/Å	b/Å	c/Å	α	β	γ
Datolite	CaBSiO ₄ (OH)	monocl		4	9.62	7.60	4.84		90.15°	
Daubreite	FeCr ₂ S ₄	cubic	spinel	8	9.966					
Diamond	C	cubic	diamond	8	3.5670					
Diaspore	AlO(OH)	orth		4	4.401	9.421	2.845			

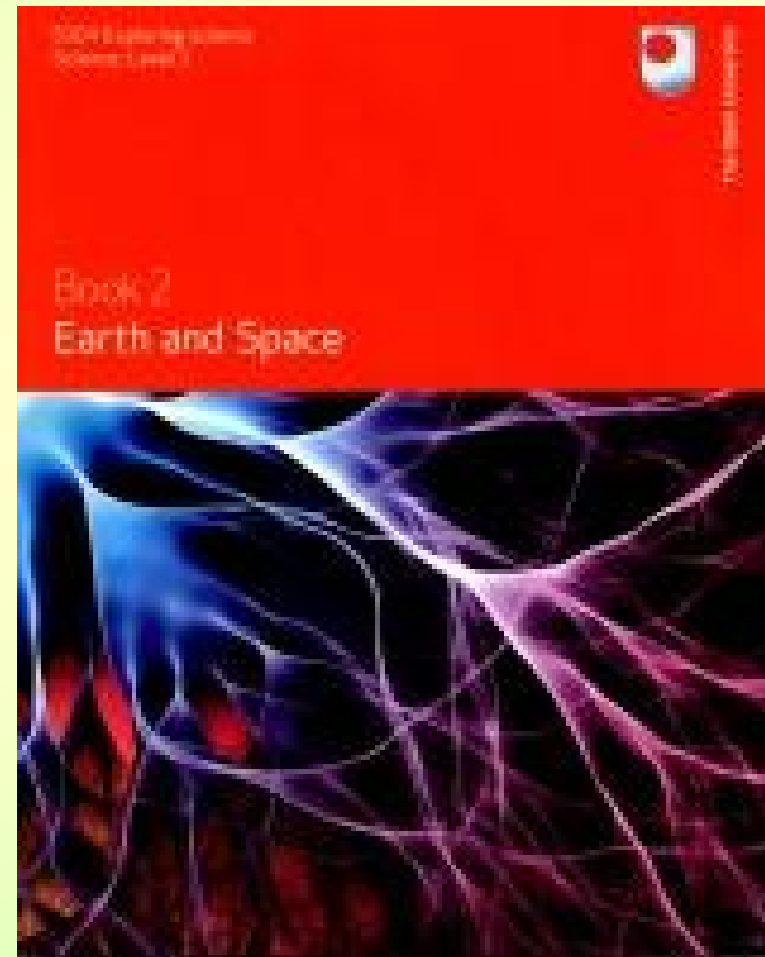
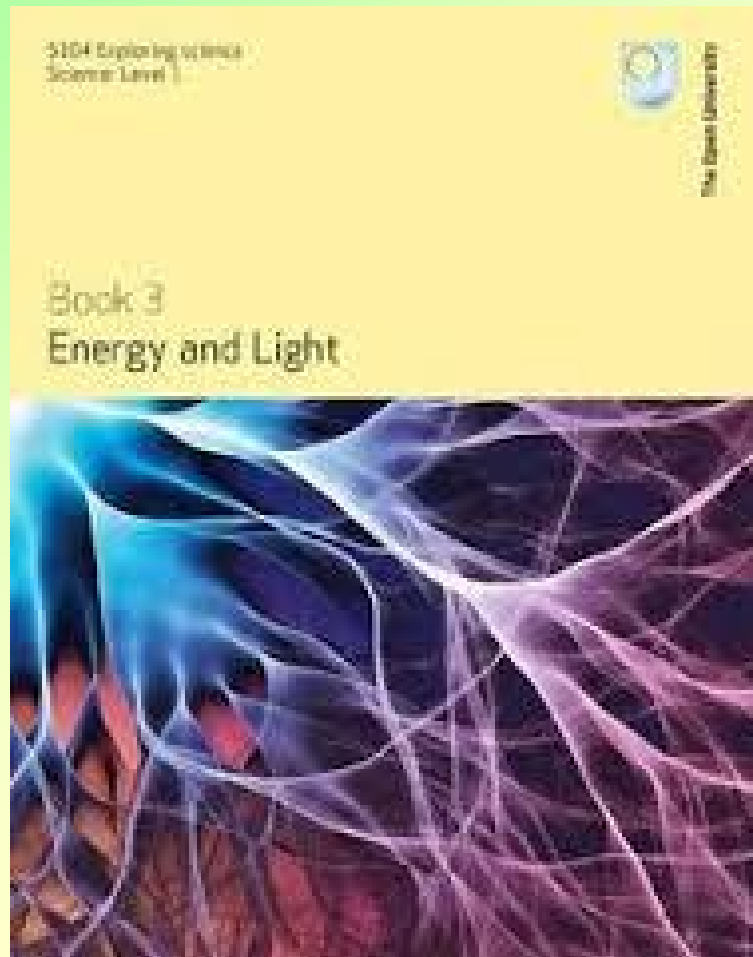
5-88

Electrochemical Series

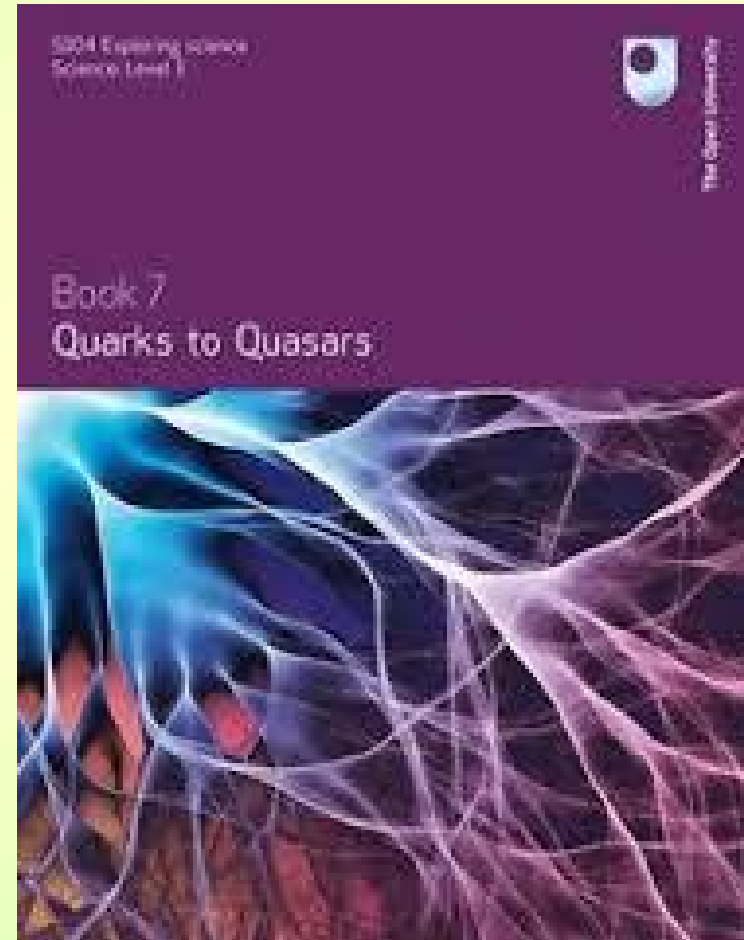
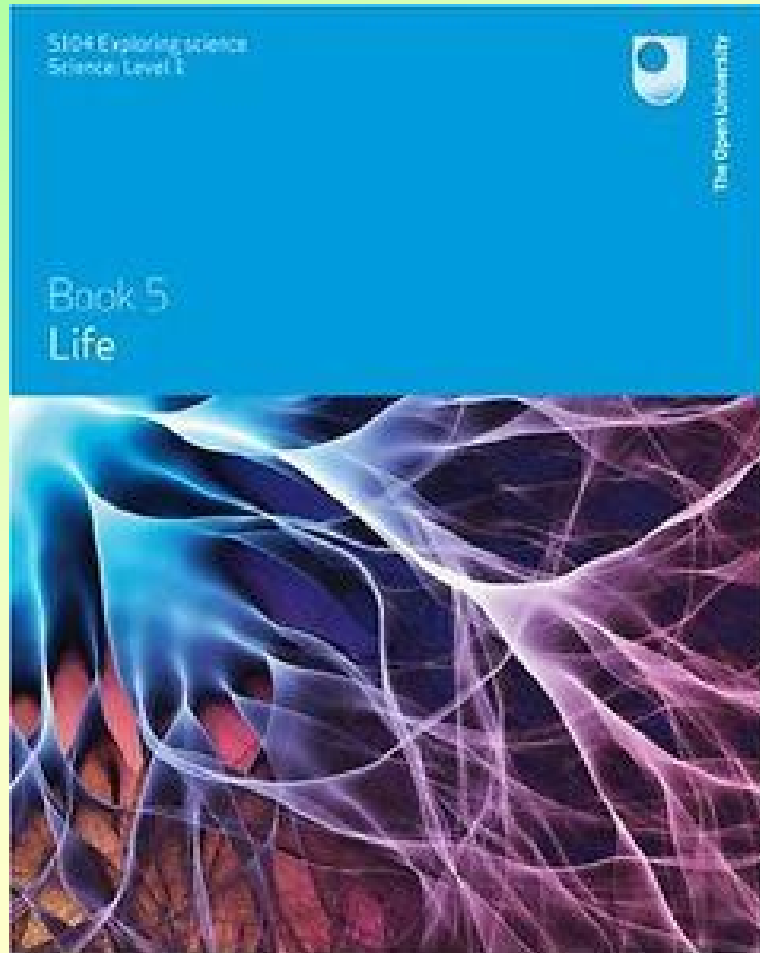
Reaction	E°/V	Reaction	E°/V
Ni ²⁺ + 2 e ⇌ Ni	-0.257	NbO ₂ + 4 H ⁺ + 4 e ⇌ Nb + 2 H ₂ O	-0.690
PbCl ₂ + 2 e ⇌ Pb + 2 Cl ⁻	-0.2675	Ag ₂ S + 2 e ⇌ 2 Ag + S ²⁻	-0.691
H ₃ PO ₄ + 2 H ⁺ + 2 e ⇌ H ₃ PO ₃ + H ₂ O	-0.276	AsO ₄ ³⁻ + 2 H ₂ O + 2 e ⇌ AsO ₂ ⁻ + 4 OH ⁻	-0.71
Co ²⁺ + 2 e ⇌ Co	-0.28	Ni(OH) ₂ + 2 e ⇌ Ni + 2 OH ⁻	-0.72

https://books.google.pl/books?redir_esc=y&id=c1rNBQAAQBAJ&q=nuclides#v=snippet&q=nuclides&f=false

Open University: Introducing Science



Open University: Introducing Science



Reference to social sensitivity

Part I Climate changes



Figure 2.1 Cuttings from newspaper stories focusing on some of the more extreme consequences of global warming.



Figure 2.2 Photograph showing considerable damage to houses caused by a tornado in an area of the UK's second largest city, Birmingham, in July 2005.



Figure 2.3 If you wait long enough, you too could roll five sixes (although, admittedly it may take a while – on average you will get five sixes every 8000 or so rolls). So, the unlikely event does occasionally happen.

Tranversal competences

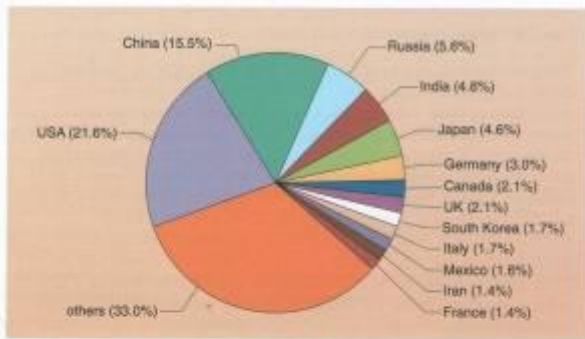
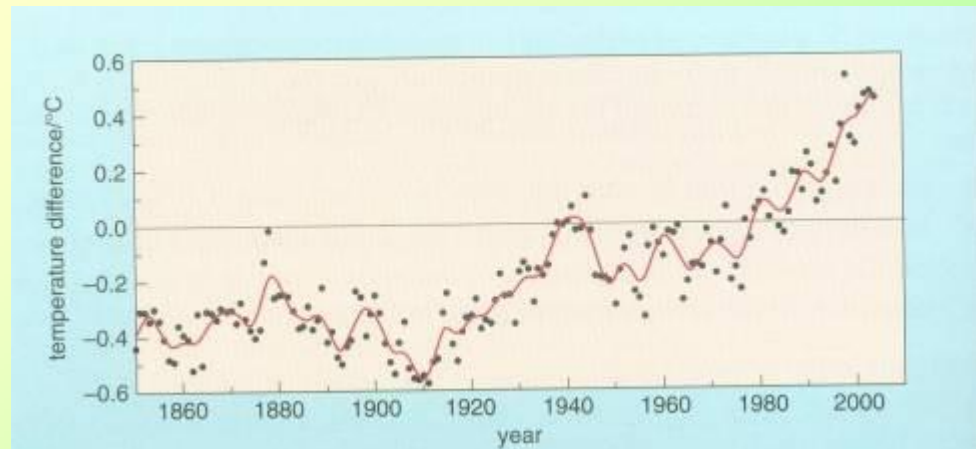
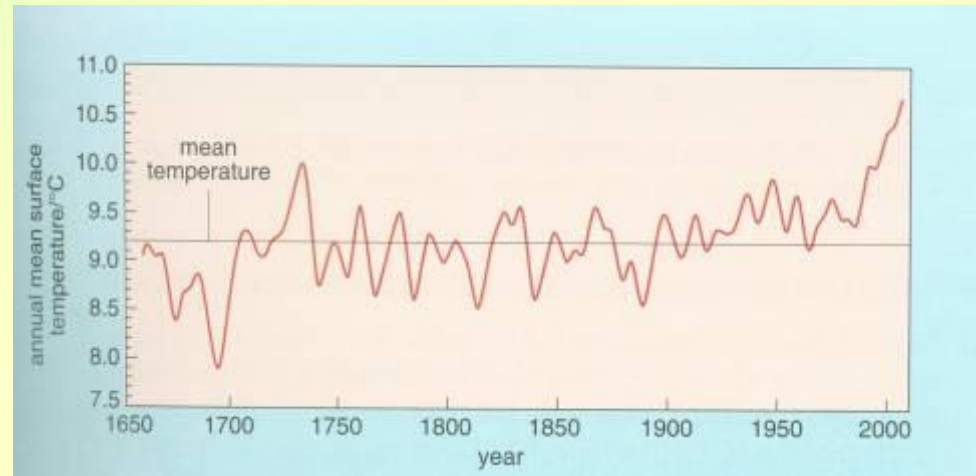


Figure 2.8 Pie chart showing the proportion of carbon emitted globally into the atmosphere in 2004. The pie chart has 14 slices, with 13 slices representing the 13 countries that emitted more than 100 million tonnes of carbon each, and the remaining slice representing the contributions from all other countries combined. The 13 specified countries account for 67.0% of the world's total carbon emission.

Table 2.1 Anthropogenic emissions of carbon dioxide into the atmosphere in 2004, expressed in terms of the mass of carbon in millions of tonnes, and their proportions of the total world emissions. Countries that emitted over 100 million tonnes of carbon are listed individually. (You may have noted that the percentage values actually add up to 100.1%. This is because the individual values are only quoted to the nearest 0.1%, and this leads to what is known as a rounding error.)

Country	Mass of carbon/million tonnes	Proportion of total world emissions/%
USA	1580	21.6
China	1130	15.5
Russia	407	5.6
India	347	4.8
Japan	336	4.6
Germany	220	3.0
Canada	154	2.1
UK	152	2.1
South Korea	124	1.7
Italy	122	1.7
Mexico	114	1.6
Iran	104	1.4
France	104	1.4
All other countries	2410	33.0



„walking” everage

Requiring only what was taught

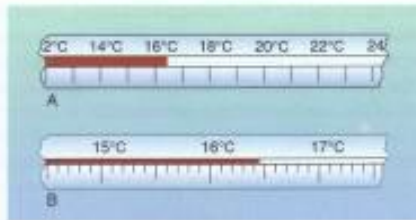
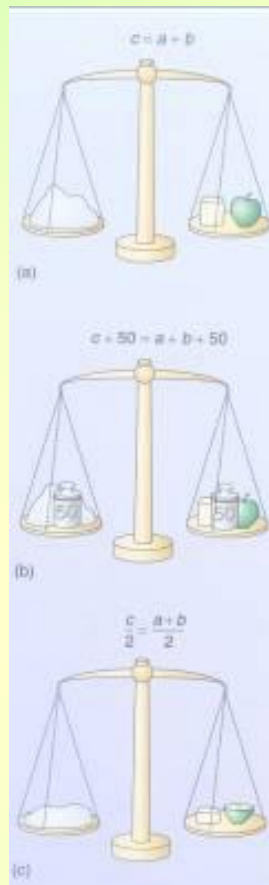
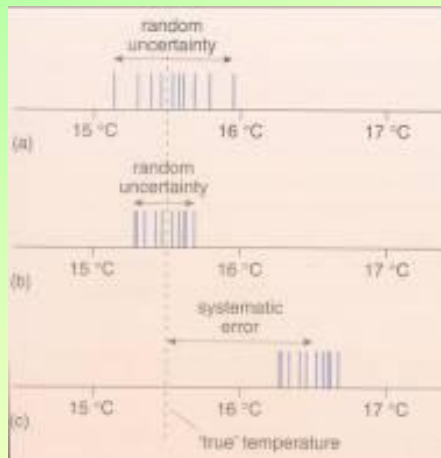


Figure 3.2 Two thermometers, A and B, measuring the air temperature in the same place. Thermometer A has scale divisions of 1 °C whereas thermometer B has scale divisions of 0.1 °C.



Systematic error

How to make evaluation

- To how many significant figures are each of the following measurements given: (a) 6.4×10^2 m; (b) 5.405×10^2 m; (c) $5.405\ 00 \times 10^2$ m?
- (a) Two significant figures; (b) four significant figures; (c) six significant figures.

Box 3.2 Scientific notation and its use with a calculator

Scientific notation is a useful way of writing numbers, particularly very large or very small numbers. Scientific notation relies on the fact that *any* value can be rewritten as a number that is *equal to or greater than 1 but less than 10*, multiplied by a simple power of ten. Take, for example, a number such as 123. In scientific notation this becomes 1.23×10^2 . Similarly, 12 345 in scientific notation becomes 1.2345×10^4 . In these two examples, the powers of ten are 10^2 (i.e. 100) and 10^4 (i.e. 10 000). When converting values that are less than one into scientific notation, the power of ten becomes negative. For example, 0.000 123 45 is 1.2345×10^{-4} in scientific notation. This is because 0.000 123 45 is equal to 1.2345×0.0001 and

$$0.0001 = \frac{1}{10\ 000} = \frac{1}{10^4} = 10^{-4}$$

Note that 1 and 10 can also be written as powers of ten. You know that 100 is 10^2 and 0.1 is 10^{-1} ; perhaps you can see that the 'in between' powers of ten are thus: $10 = 10^1$ and $1 = 10^0$. So, in scientific notation, 12.3 is 1.23×10^1 and 1.23 is 1.23×10^0 . Note that any number written using a power of ten could be referred to as being in 'powers of ten' notation. Hence, 23.4×10^4 is in powers of ten

notation; however, it is only when written as 2.34×10^5 that it would be in proper scientific notation.

You should ensure that you can type numbers in scientific notation into your calculator correctly. For example, you should know the difference in entering, say, -6.78×10^6 as opposed to 6.78×10^{-6} (or indeed, -6.78×10^{-6}). Also, do not fall into the trap of entering a simple power of ten, such as 10^4 , as 10×10^4 (which is actually 10^5). This is avoided if you remember that 10^4 is actually 1×10^4 in scientific notation. Finally, take care not to enter (or write), say, 3.46×10^4 as 3.46^4 .

Ensure you are comfortable with entering scientific notation and powers of ten into your calculator by checking you get the following answers to these multiplications and divisions.

$$2.45 \times 10^5 \times 3.2 \times 10^7 = 7.84 \times 10^{12}$$

$$3 \times 10^8 \times 6.6 \times 10^{-34} = 1.98 \times 10^{-25}$$

$$6.666 \times 10^{-34} + 2.222 \times 10^0 = 3 \times 10^{-34}$$

$$-2.1 \times 10^4 \times 2.1 \times 10^{-4} = -4.41 \text{ (i.e. } -4.41 \times 10^0)$$

$$10^6 \times 10^6 = 10^{12} \text{ (i.e. } 1 \times 10^{12})$$

$$10^8 + 10^{-34} = 10^{42} \text{ (i.e. } 1 \times 10^{42})$$

$$10^4 \times 3.14 = 31\ 400 \text{ or } 3.14 \times 10^4$$

Scientific notation

Illustrative, step-by-step, resolving doubts

9.1.2 Amplitude

So much for the periodicity of waves; what of the assertion that they transport energy from one place to another? Again, waves on the sea provide a convenient example. Waves may be generated far out to sea by winds, where energy is imparted to the wave and transported by it until the wave finally breaks on the shore, and the energy is released.

- What is the evidence for this release of energy when a wave breaks on the seashore?
- When the wave breaks, kinetic energy is imparted to pebbles and other debris, causing them to move. Also, the sound of the crash is heard, which is further evidence for the release of energy.

How does the energy transported by a wave on the sea depend on the properties of the wave? Again your experience probably tells you that, if the vertical distance between the trough and crest of a wave is greater (that is, if the waves are 'higher'), more energy is released as they crash onto the shore. As you will see at the beginning of the *Making Waves* video sequence, the waves on the sea during a storm tend to be very high. Storms can result in a great deal of damage to breakwaters and sea defences; clearly, higher waves carry more energy. The **amplitude** of a wave is conventionally defined as half the trough-to-crest height, or (equivalently) the maximum deviation of the wave from its mean position. Therefore, the amplitude of a wave is a measure of how much energy it carries. It turns out that the energy carried by a wave is actually proportional to the *square* of its amplitude, which explains why big breakers are so powerful.

The meanings of the wavelength and amplitude of a wave are summarised in Figure 9.2.

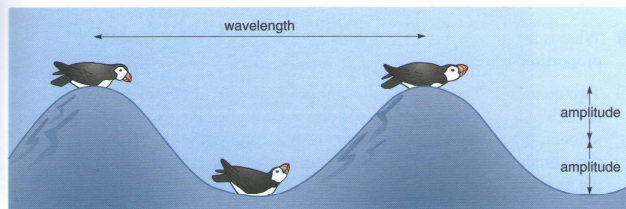


Figure 9.2 Wavelength and amplitude of a water wave.

The preceding discussion of waves in terms of natural water waves on the sea was rather qualitative. The problem is that waves on the sea are uncontrollable; they are not generally well behaved and regular, they are not strictly periodic, and one wave crest breaking on a beach is often quite different in nature to that immediately preceding or following it – just ask a surfer! This makes them difficult to study and therefore waves on the sea are not an ideal subject

9.1.3 Frequency and wave speed

As you saw in the *Making Waves* video sequence, a wave may be characterised by its amplitude A , its wavelength λ , its **frequency** f (or period $T = \frac{1}{f}$), and its propagation speed v . The units of frequency can be thought of as 'cycles per second' or simply s^{-1} , and an equivalent unit is the **hertz** (symbol Hz), where $1 \text{ Hz} = 1 \text{ s}^{-1}$. (Remember that λ is the Greek letter lambda – wavelengths are always represented by this symbol.)

As you discovered in Activity 9.1 Task 1, a wave may be represented graphically either by its profile in space at a particular instant of time, or by its variation with time at a particular point in space. Examples of these two representations are shown in Figure 9.5. The speed of a wave v is related to its frequency and wavelength by the equation:

$$v = f\lambda$$

With λ in the SI units of metres and f in the SI units of hertz (or s^{-1}), the speed of the wave is expressed in the SI units of $m \text{ s}^{-1}$. The speed of light (and electromagnetic radiation) in a vacuum is given the special symbol c and is $2.997\,924\,58 \times 10^8 \text{ m s}^{-1}$. If light is travelling through a material such as glass, it travels at a slower speed.



<http://dydaktyka.fizyka.umk.pl/zabawki1/files/mech/sprezyny.jpg>

Book 1, Box 3.1 for advice on rounding).

So for light, or any other electromagnetic radiation, Equation 9.1 can be written as:

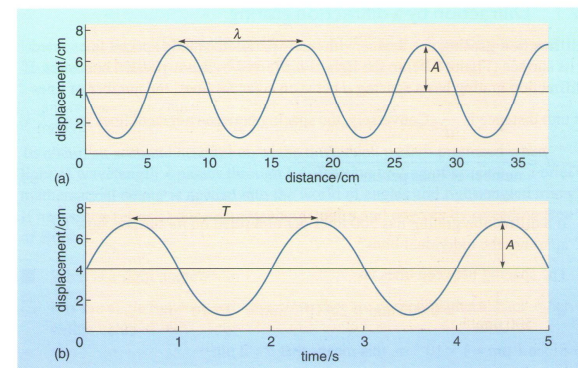
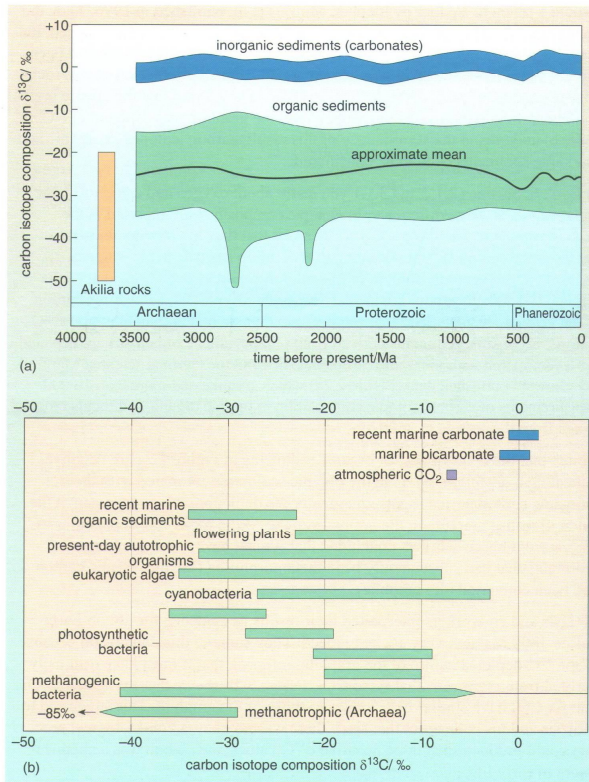
$$c = f\lambda \quad (9.2)$$


Figure 9.5 The space and time representations of a wave. In each case, the horizontal line at 4 cm represents the mean displacement of the wave. (a) A graph showing a wave profile at a fixed instant of time, illustrating how the displacement varies with position. The distance between two adjacent positions where the profile has the same displacement, and where the displacement is changing in the same way, is equal to the wavelength λ . (b) A graph showing how the displacement at a fixed point in space varies with time. The interval between two successive times when the displacement is the same, and when the displacement is changing in the same way, is equal to the period T .

Energy and Light

Inter-disciplinary, involving

Figure 2.2 (a) Variations in carbon isotopic composition ($\delta^{13}\text{C}$) in organic carbon sediments (lighter shading in pale green) and inorganic carbonate sediments (darker shading in blue) over 3800 Ma of the Earth's history. The height of the bands indicate the ranges of the measured values, and the line within the green band is the mean value. Most of the data are from the 1988 paper by Schidlowski. The paler-coloured box at the far left of the diagram are data for graphite from the Akilia rocks taken from the paper by Mojzsis et al. (1996). (b) Carbon isotopic composition of various types of living autotrophs that fix CO_2 and of recent marine organic and inorganic sediments.



paleontology

- What inference can you draw from the discrepancy between the findings of the original scientists and those of the second team working on the same samples 10 years later?
- That advances in instruments and techniques can completely overturn apparently sound scientific conclusions, and so great care must be taken when analysing tiny amounts of material.

If carbon isotope data from rocks around 3800 Ma old is no longer evidence for the earliest appearance of life on Earth, what should we be looking for? Perhaps fossilised microorganisms rather than their chemical traces might be

In the first part of the extract, Zahnle considers the composition of the atmosphere immediately following formation of the Moon. In the final part of the extract, he looks at how the presence of an ocean of liquid water would influence the atmosphere. The details of this are not important for the purposes of this book, but are interesting given current concerns about global warming and the greenhouse effect.

The period of time that the author covers takes us up to about 3600 Ma ago, just before we have evidence for life on Earth. The period known as the late heavy bombardment is one of the final events of the Hadean era.

After reading the article, carry out the tasks below which give you practice at extracting information. Have a quick look at the tasks now so that you can make notes as you read.

Task 1

Describe the probable composition of the Earth's earliest atmosphere after the Moon formed.

Task 2

Use Figure 2.7 to describe how the temperature of the Earth's surface changed through the Hadean era.

You should now read Article 3, consider your responses to the two tasks and then compare your answers with those in the comments on this activity at the end of this book.

climatology

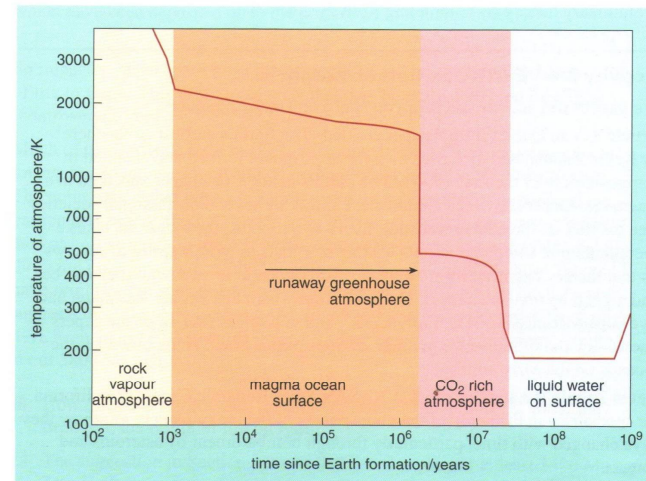


Figure 2.7 The figure is adapted from Figure 3 of Zahnle (2006), and shows how the Earth's surface temperature was thought to vary during the Hadean, from just after the Moon-forming impact up until the Late Heavy Bombardment. Note that both axes are logarithmic scales.

Exotic, visible real pre-life

Activity 2.1 (continued) Earth's timeline

We expect this activity will take you approximately 5 minutes.

You can now add two more dates to the timeline in Figure 2.1: the ages of 3850 Ma (for possible chemical trace fossils in the Akilia rocks) and 3500 Ma (for biological tracers in the Apex Chert). Like the date for the first presence of water on Earth, the ages of the chemical and biological tracers are uncertain and subject to much argument, and so should be added in your second colour or text style.

sandstone?

There are, however, other features present in ancient rocks that can indicate the presence of biological matter. The first is the occurrence of stromatolites. These are finely layered rocks (Figure 2.4) produced in shallow marine environments by the trapping of sediments by colonies of cyanobacterial cells, forming microbial mats (Book 6 Section 3.1).



Figure 2.4 Modern stromatolites in Shark Bay, Western Australia. The flat, rounded mounds are up to about 1m across, and around 30 cm high.

The oldest stromatolites (around 3300 to 3400 Ma) have been found in at least two locations, one at Strelley Pool in Western Australia, and the other in South Africa

Chert). Great care must be taken in interpreting features as cause, as for the features in the slightly older Apex Chert, there are instances where characteristics initially interpreted as being biological were subsequently reinterpreted as being of non-biological origin.

Convinced about the biological origin of a feature, it is clear that relying solely on shape is not enough. The geological environment must also be considered, i.e. were the rocks originally igneous or sedimentary? In the case of Strelley Pool and Buck Reef, the host rocks seem clearly to have been sedimentary, laid down in shallow seas, and thus appropriate for the formation of stromatolites. So it looks as if the first traces of life on Earth occurred at least around 3400 Ma ago.

stromatolites
Western Australia

18 This series is available at IF UMK library

bottom water, there is an instant chemical reaction and sulfides precipitate out from the water, colouring it black. The sulfides build up rapidly to form 'chimneys' reaching heights of several tens of metres.

Discovery of the vents revealed that, despite the depth and darkness, parts of the ocean floor are home to an unusual collection of animals such as clams, mussels and tubeworms (Figure 2.8b), feeding on the Bacteria and Archaea that flourish in these very hot conditions.

The discovery of a successful ecosystem based on chemical energy rather than photosynthesis has raised the possibility that life may not have arisen in surface waters, as original theories suggested. Discovering communities entirely supported by chemoautotrophs has given the impetus to the search for life in other deep oceans, especially on Jupiter's satellite, Europa, where a liquid water ocean is thought to occur below the visible crust of ice (Section 3.2.3).

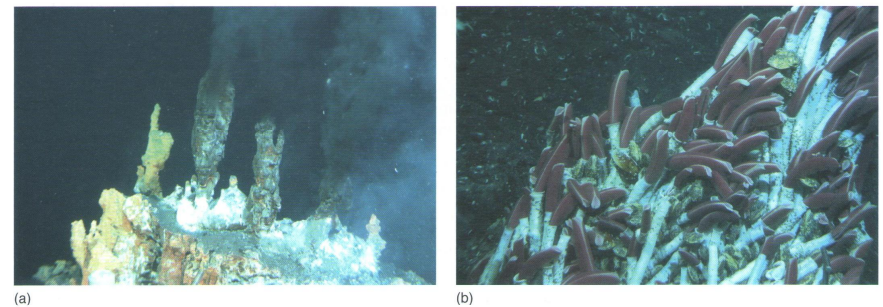


Figure 2.8 Hydrothermal vents on the ocean floor. (a) Three 'chimneys' or black smokers; (b) vent fauna that live around the chimneys include tubeworms, clams and mussels.

2.5.3 An extraterrestrial origin for life?

An alternative view to chemical evolution is that of **panspermia**, in which life had

volcanic chimneys = lab of evolution

The astronomer Sir Fred Hoyle (1915–2001) resolutely maintained that an extraterrestrial origin for life must be the case because it was just too unlikely that chemical evolution could have led to life on Earth in the time available.

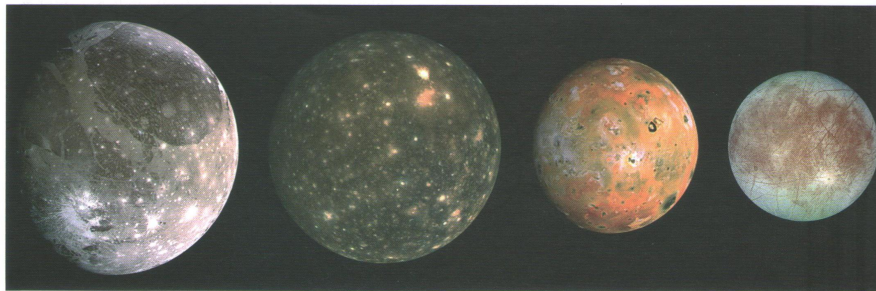
- Does the reassessment of the age of the first traces of life increase or decrease the length of time available for chemical evolution to occur?
- It increases the time available. In Activity 2.2, you read that there had been a claim that traces of life had been found in rocks around 3850 Ma old. Given that Earth formed 4600 Ma ago, that only left 750 Ma years to progress from a molten Earth to an inhabited Earth (even though by bacteria). It is now thought that the first indisputable traces of life are in rocks 3400 Ma old, a period of 1200 Ma since the formation of the Earth.

and now we move to astronomy

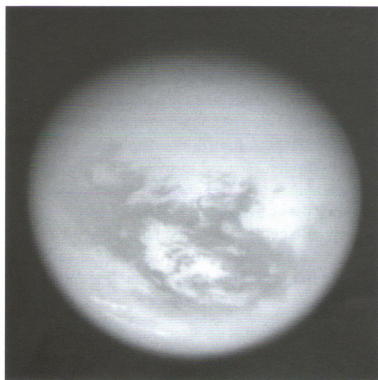
The answer to Question 3.3 suggests that, at face value, life is at least possible. But there is a serious problem for any aspiring life forms. Any dust particles

The most beautiful picture apart He lines

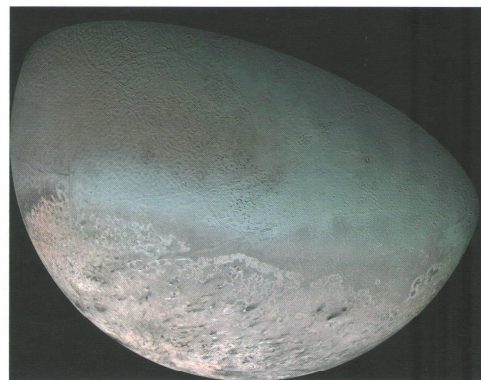
So it seems reasonable to proceed on the basis that life on, or within, the giant planets looks unlikely. However, their satellites are a different issue. Each planet has a number of satellites, and there are a few that are relatively large, equivalent in size to Mercury, or to the Earth's Moon, i.e. Ganymede, Callisto, Io, Europa, (all orbiting Jupiter; Figure 3.6a), Titan (orbiting Saturn; Figure 3.6b) and Triton (orbiting Neptune; Figure 3.6c). Thus, in the context of life in the Solar System these bodies should be added to the list of interesting places to consider. All of



(a)



(b)



(c)

Figure 3.6 Satellites of the giant planets. (a) A collage of the four Galilean satellites of Jupiter, to correct relative sizes. On the far left is Ganymede, then Callisto, Io and Europa; (b) an image taken by the *Cassini* mission of Saturn's largest satellite Titan; (c) an image of part of the surface of Neptune's satellite Triton.

„Life in the Universe”

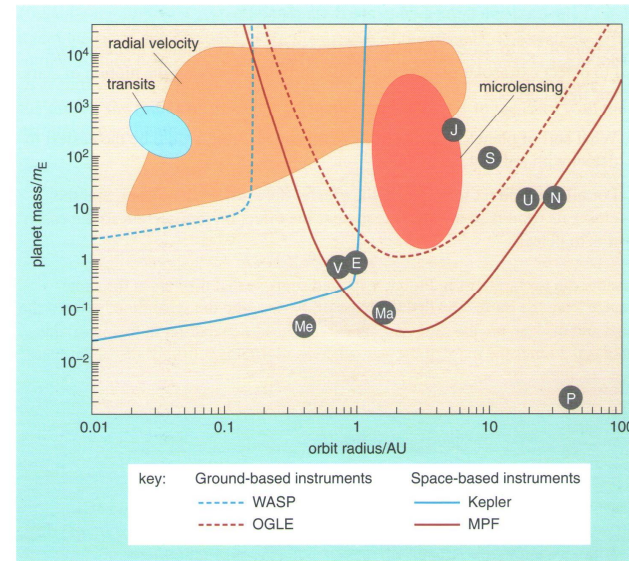


Figure 4.9 A plot to show the detection limits of planet size and orbit for different observation techniques. Radial velocity observations fall in the orange area, those from transit techniques in the blue area and gravitational microlensing in the red area. The solid and dashed lines define the regions on the figure within which planets are detectable by the specified instruments. Kepler is a NASA space telescope launched in 2009. Abbreviations: OGLE – Optical Gravitational Lensing Experiment (uses a ground-based telescope in Chile, described in Section 4.1.5); MPF – Microlensing Planet Finder (a proposed NASA space telescope under consideration); WASP – Wide Angle Search for Planets (uses two robotic ground-based telescopes, described in Section 4.1.4). The grey dots show where our Solar System objects would lie on this diagram. The plot is adapted from Figure 2 in Dominik et al. (2006).

Task 1

Why are the space-based instruments (solid) lines lower than the ground-based instruments (dashed) lines?

Task 2

(a) Which of the different techniques can detect the planet furthest away from its star? (b) Why is this? (c) Which technique will detect the smallest planet?

Now look at the comments on this activity at the end of this book.

Many methods to search exo-planets

Demtröder: „Experimental Physics”

Kittel: Solid state physics

- Why gold is transparent and green in thin foils?

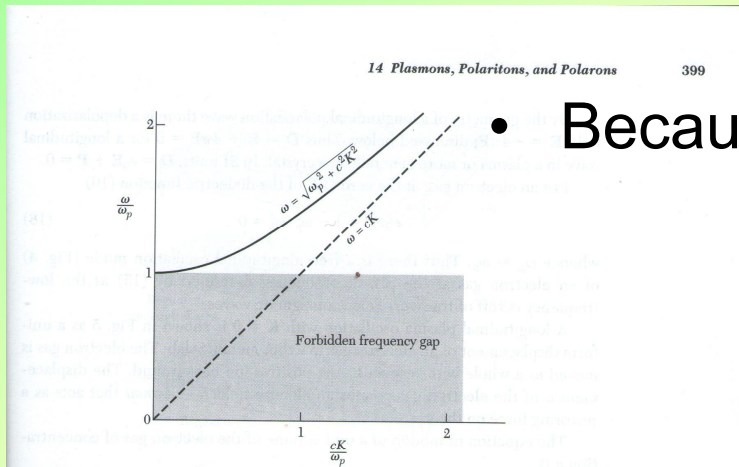


Figure 2 Dispersion relation for transverse electromagnetic waves in a plasma. The group velocity $v_g = d\omega/dK$ is the slope of the dispersion curve. Although the dielectric function is between zero and one, the group velocity is less than the velocity of light in vacuum.

Table 1 Ultraviolet transmission limits of alkali metals, in Å

	Li	Na	K	Rb	Cs
λ_p , calculated	1550	2090	2870	3220	3620
λ_p , observed	1550	2100	3150	3400	—

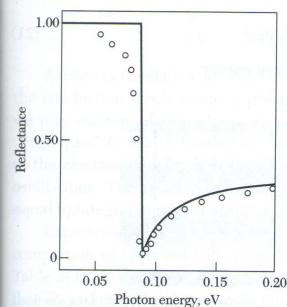


Figure 3 Reflectance of indium antimonide with $n = 4 \times 10^{18} \text{ cm}^{-3}$. (After J. N. Hodgson.)

- Because alkali metals are transparent in UV



Berlin glass with Au-nanodroplets
(photo GK)

Solid state physics

The dielectric function of the free electron gas follows from (6) and (7):

$$\text{GS) } \epsilon(\omega) = 1 - \frac{4\pi n e^2}{m \omega^2}; \quad \text{(SI) } \epsilon(\omega) = 1 - \frac{n e^2}{\epsilon_0 m \omega^2} \quad (8)$$

The **plasma frequency** ω_p is defined by the relation

$$\text{GS) } \omega_p^2 = 4\pi n e^2 / m; \quad \text{(SI) } \omega_p^2 \equiv n e^2 / \epsilon_0 m \quad (9)$$

plasma is a medium with equal concentration of positive and negative charges, of which at least one charge type is mobile. In a solid the negative charges of the conduction electrons are balanced by an equal concentration of positive charge of the ion cores. We write the dielectric function (8) as

$$\epsilon(\omega) = 1 - \frac{\omega_p^2}{\omega^2}, \quad (10)$$

plotted in Fig. 1.

If the positive ion core background has a dielectric constant labeled $\epsilon(\infty)$ essentially constant up to frequencies well above ω_p , then (8) becomes

$$\epsilon(\omega) = \epsilon(\infty) - 4\pi n e^2 / m \omega^2 = \epsilon(\infty) [1 - \bar{\omega}_p^2 / \omega^2], \quad (11)$$

where $\bar{\omega}_p$ is defined as

Plasma resonant frequency

notice that $\epsilon = 0$ at $\omega = \bar{\omega}_p$.

Dispersion Relation for Electromagnetic Waves

In a nonmagnetic isotropic medium the electromagnetic wave equation is

$$\text{GS) } \partial^2 \mathbf{D} / \partial t^2 = c^2 \nabla^2 \mathbf{E}; \quad \text{(SI) } \mu_0 \partial^2 \mathbf{D} / \partial t^2 = \nabla^2 \mathbf{E} \quad (13)$$

look for a solution with $\mathbf{E} \propto \exp(-i\omega t) \exp(i\mathbf{K} \cdot \mathbf{r})$ and $\mathbf{D} = \epsilon(\omega, \mathbf{K}) \mathbf{E}$; then we have the dispersion relation for electromagnetic waves:

$$\text{GS) } \epsilon(\omega, \mathbf{K}) \omega^2 = c^2 K^2; \quad \text{(SI) } \epsilon(\omega, \mathbf{K}) \epsilon_0 \mu_0 \omega^2 = K^2 \quad (14)$$

This relation tells us a great deal. Consider

ϵ real and > 0 . For ω real, \mathbf{K} is real and a transverse electromagnetic wave propagates with the phase velocity $c/\epsilon^{1/2}$.

ϵ real and < 0 . For ω real, \mathbf{K} is imaginary and the wave is damped with a characteristic length $1/|\mathbf{K}|$.

ϵ complex. For ω real, \mathbf{K} is complex and the waves are damped in space.

4. Helicon waves	425
5. Plasmon mode of a sphere	425
6. Magnetoplasma frequency	425
7. Photon branch at low wavevector	426
8. Plasma frequency and electrical conductivity	426
9. Bulk modulus of the Fermi gas	426

Plasma reflects EM radiation

So the ionosphere allows radio transmission in short-wave range over the globe

Dielectric constant may be negative (or better: is always complex number)

„plasmons” = collective oscillations of electrons

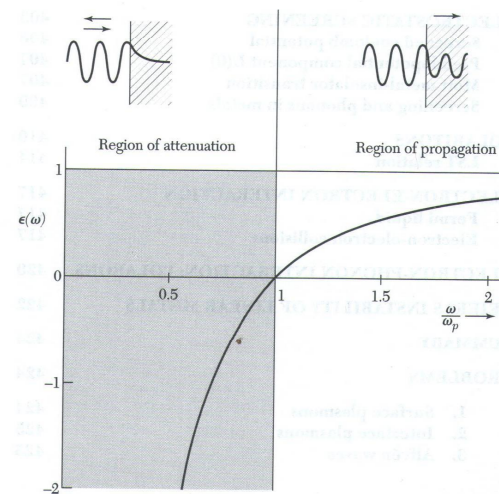


Figure 1 Dielectric function $\epsilon(\omega)$ or $\epsilon(\omega, 0)$ of a free-electron gas versus frequency in units of the plasma frequency ω_p . Electromagnetic waves propagate without damping only when ϵ is positive and real. Electromagnetic waves are totally reflected from the medium when ϵ is negative.

„Landau – Lifshitz – Pitaevskij”

De Haas–van Alphen effect

From Wikipedia, the free encyclopedia

The **de Haas–van Alphen effect**, often abbreviated to **dHvA**, is a quantum mechanical effect in which the magnetic susceptibility of a pure metal crystal oscillates as the intensity of the magnetic field *B* is increased. Other quantities also oscillate, such as the electrical resistivity (Shubnikov–de Haas effect), specific heat, and sound attenuation and speed.^{[1][2][3]} It is named after Wander Johannes de Haas and his student Pieter M. van Alphen.^[4] The dHvA effect comes from the orbital motion of itinerant electrons in the material. An equivalent phenomenon at low magnetic fields is known as Landau diamagnetism.

Contents [hide]

- 1 Description
- 2 History
- 3 References
- 4 External links

is a [quantum mechanical](#) effect in which the [magnetic susceptibility](#) of a pure metal [crystal](#) oscillates as the intensity of the [magnetic field](#) *B* is increased.

Description [edit]

The differential magnetic susceptibility of a material is defined as

$$\chi = \frac{\partial M}{\partial H}$$

where *H* is the applied external magnetic field and *M* the magnetization of the material. Such that $\mathbf{B} = \mu_0(\mathbf{H} + \mathbf{M})$, where μ_0 is the vacuum permeability. For practical purposes, the applied and the measured field are approximately the same $\mathbf{B} \approx \mu_0\mathbf{H}$ (if the material is not ferromagnetic).

The oscillations of the differential susceptibility when plotted against $1/B$, have a period *P* (in teslas^{−1}) that is inversely proportional to the area *S* of the external orbit of the Fermi surface (m^{−2}), in the direction of the applied field, that is

$$P(B^{-1}) = \frac{2\pi e}{\hbar S}$$

where \hbar is Planck constant and *e* is the elementary charge.^[5]

The modern formulation allows the experimental determination of the Fermi surface of a metal from measurements performed with different orientations of the magnetic field around the sample.

History [edit]

Experimentally it was discovered in 1930 by W.J. de Haas and P.M. van Alphen under careful study of the magnetization of a single crystal of bismuth. The magnetization oscillated as a function of the field.^[4] The inspiration for the experiment was the recently discovered Shubnikov–de Haas effect by Lev Shubnikov and de Haas, which showed oscillations of the electrical resistivity as function of a strong magnetic field. De Haas thought that the magnetoresistance should behave in an analogous way.^[6]

The theoretical prediction of the phenomenon was formulated before the experiment, in the same year, by Lev Landau,^[7] but he discarded it as he thought that the magnetic fields necessary for its demonstration could not yet be created in a laboratory.^{[8][9][6]} The effect was described mathematically using Landau quantization of the electron energies in an applied magnetic field. A strong homogeneous magnetic field — typically several teslas — and a low temperature are required to cause a material to exhibit the dHvA effect.^[10] Later in life, in private discussion, David Shoenberg asked Landau why he thought that an experimental demonstration was not possible. He answered by saying that Pyotr Kapitsa, Shoenberg's advisor, had convinced him that such homogeneity in the field was impractical.^[6]

After the 1950s, the dHvA effect gained wider relevance after Lars Onsager (1952),^[11] and independently, Ilya Lifshitz and Arnold Kosevich (1956),^[12] pointed out that the phenomenon could be used to image the Fermi surface of a metal.^[6]

References [edit]

1. [^] Zhang Mingzhe. "Measuring FS using the de Haas-van Alphen

5. [^] Kittel, Charles (2005). *Introduction to Solid-State Physics* (8th ed.). Wiley. ISBN 078-0-471-41528-8.

10. [^] Harrison, Neil. "de Haas-van Alphen Effect". National High Magnetic Field Laboratory, at the Los Alamos National Laboratory.

„Landau – Lifshitz – Pitaevskij”

Е. М. ЛИФШИЦ и Л. П. ПИТАЕВСКИЙ

СТАТИСТИЧЕСКАЯ ФИЗИКА

ЧАСТЬ 2

Теория конденсированного состояния

Издание второе, исправленное и дополненное

Рекомендовано Министерством образования Российской Федерации в качестве учебного пособия для студентов физических специальностей университетов

гл. VI

ату- том. (во- том для- аза- > за- сле- асть тро- жет евич,

яв- лого > со- тым яци- о от ети- нно- ниях мые

§3.2)

раз- §3.2)

же- (ому .10). иче- мее

§3.3)

ерх- рат- кому

§ 63

ЭФФЕКТ ДЕ ГААЗА-ВАН АЛЬВЕНА

333

интервалу, чтобы в него были включены все различные (т. е. за исключением их периодических повторений) сечения всех листов изоэнергетических поверхностей.

Прежде всего выделим из Ω осциллирующую с полем часть (обозначим ее через $\tilde{\Omega}$), преобразовав сумму (63.3) с помощью формулы Пуассона¹⁾:

$$\frac{1}{2} F(0) + \sum_{n=1}^{\infty} F(n) = \int_0^{\infty} F(x) dx + 2 \operatorname{Re} \sum_{l=1}^{\infty} \int_0^{\infty} F(x) e^{2\pi i l x} dx. \quad (63.4)$$

Первый член этой формулы, примененной к (63.3), дает неосциллирующий вклад в Ω ; опустив его, пишем

$$\tilde{\Omega} = -\frac{|e|BVT}{4\pi^2 c \hbar} 2 \operatorname{Re} \sum_{l=1}^{\infty} \sum_{\sigma=\pm 1} \tilde{I}_{l\sigma}, \quad (63.5)$$

где $\tilde{I}_{l\sigma}$ — осциллирующая часть интеграла

$$I_{l\sigma} = \int_0^{\infty} dn \int \ln \left\{ 1 + \exp \frac{\mu_{\sigma} - \varepsilon_n(k_z)}{T} \right\} e^{2\pi i l n} dk_z \quad (63.6)$$

и введено также обозначение $\mu_{\sigma} = \mu - \sigma \beta \xi B$.

Для дальнейшего преобразования введем функцию

$$n(\varepsilon, k_z) = \frac{c \hbar S(\varepsilon, k_z)}{2\pi |e| B} - \frac{1}{2} \quad (63.7)$$

(ср. (62.8)) и перейдем от интегрирования по dn в (63.6) к интегрированию по $d\varepsilon$:

$$I_l = \int_0^{\infty} \int \ln \left\{ 1 + \exp \frac{\mu_{\sigma} - \varepsilon}{T} \right\} e^{2\pi i l n} \frac{\partial n}{\partial \varepsilon} dk_z d\varepsilon; \quad (63.8)$$

выбор нижнего предела интегрирования по $d\varepsilon$ (условно положенного равным нулю) безразличен, так как в интеграле все равно будет существенна лишь окрестность значения $\varepsilon = \mu_{\sigma}$.

Поскольку функция $n(\varepsilon, k_z)$ велика, экспоненциальный множитель в подынтегральном выражении в (63.8) — быстро осциллирующая функция k_z . Эти осцилляции погашают интеграл

¹⁾ См. в § 60. Тот факт, что в (63.4) член суммы $F(0)$ стоит с коэффи-

Einstein: this is experiment which verifies the validity of the theory
 Karwasz: no valid experiment is possible without reading some theory before

Conclusions

- Books present infinity of didactical and cognitive solutions
- Book, ordered on a shelf is the quickest (apart from own brain) the source of information
- Reading a book brings usually unexpected surprises
- „Didactics” = searching of nodes in learning, can be beautifully executed by „random” comparison of books
- Do not hesitate to search in unknown sectors
- Some books, like „Feynman”, „Landau-Lifshitz-Pitaevski” are classics, like Dante and Shakespeare
- Own library is a treasure, more than bank account